

Vedlegg 6

SINTEF A4175 – Åpen

RAPPORT



Arkivfoto Avinor

Støysoner etter T-1442 for Haugesund lufthavn – Karmøy

Rolf Tore Randeberg, Idar Ludvig Nilsen Granøien

SINTEF IKT

Desember 2007

P eggibv

**SINTEF IKT**

Postadresse: 7465 Trondheim
Besøksadresse: O S Bragstads plass 2C
7034 Trondheim
Telefon: 73 59 30 00
Telefaks: 73 59 10 39

Foretakregisteret: NO 948 007 029 MVA

SINTEF RAPPORT

TITTEL

Støysoner etter T-1442 for Haugesund lufthavn – Karmøy

FORFATTER(E)

Rolf Tore Randeberg, Idar Ludvig Nilsen Granøien

OPPDAGSGIVER(E)

Avinor AS

| | | | |
|--|---|---|--|
| RAPPORTNR. SINTEF A4175 | GRADERING Åpen | OPPDAGSGIVERS REF. Ole Jørgen Holt Hanssen | |
| GRADER. DENNE SIDE Åpen | ISBN 978-82-14-04381-5 | PROSJEKTNR. 90E277 | ANTALL SIDER OG BILAG 58 |
| ELEKTRONISK ARKIVKODE SINTEF A4175.doc | PROSJEKTLEDER (NAVN, SIGN.) Idar Ludvig Nilsen Granøien | | VERIFISERT AV (NAVN, SIGN.) Herold Olsen |
| ARKIVKODE | DATO 2007-12-18 | GODKJENT AV (NAVN, STILLING, SIGN.) Truls Gjestland, forskningssjef | |

SAMMENDRAG

Det er beregnet nye støysoner for Haugesund lufthavn – Karmøy etter retningslinje T-1442 fra Miljøverndepartementet basert på trafikken for 2006, samt en prognose for 2016. Beregningene er utført med programmet NORTIM, det norske flystøyprogrammet som tar hensyn til topografi ved beregning av lydutbredelse.

De nye støysonene etter T-1442 ligger kun i Karmøy kommune.

I tillegg til støysonene knyttet til T-1442 er det gjort beregninger og opptegninger knyttet til forurensningsforskriften.

| STIKKORD | NORSK | ENGELSK |
|------------|-----------|----------------|
| GRUPPE 1 | Akustikk | Acoustics |
| GRUPPE 2 | Fly, støy | Aircraft Noise |
| EGENVALGTE | Haugesund | Haugesund |
| | Karmøy | Karmøy |
| | | |

INNHOLDSFORTEGNELSE

| | |
|---|-----------|
| 1. INNLEDNING | 5 |
| 2. GENERELT OM FLYSTØY | 7 |
| 2.1 Flystøyens egenskaper og virkninger..... | 7 |
| 2.1.1 Søvnforstyrrelse som følge av flystøy..... | 7 |
| 2.1.2 Generell sjenanse som følge av flystøy..... | 8 |
| 3. MILJØVERNDEPARTEMENTETS RETNINGSLINJER | 9 |
| 3.1 Måleenheter..... | 9 |
| 3.2 Støysoner til arealplanlegging | 10 |
| 3.2.1 Definisjon av støysoner..... | 10 |
| 3.2.2 Utarbeidelse av støysonekart og implementering i kommunale planer | 11 |
| 3.3 Beregningsmetode | 11 |
| 3.3.1 Dimensjonering av trafikkgrunnlaget | 11 |
| 3.3.2 Beregningsprogrammet NORTIM..... | 12 |
| 3.4 Kartlegging i henhold til forskrift til forurensningsloven | 12 |
| 4. OMGIVELSER..... | 15 |
| 4.1 Digitalt kartgrunnlag | 15 |
| 4.2 Digital terremodell | 16 |
| 4.3 Bygningsdata..... | 16 |
| 5. FLYTRAFIKK | 17 |
| 5.1 Trafikk i følge tårnjournal | 17 |
| 5.2 Annen trafikk..... | 17 |
| 5.3 Oppsummering av trafikk..... | 17 |
| 5.4 Prognoser..... | 18 |
| 6. FLYTYPER | 19 |
| 6.1 Flytyper i bruk..... | 19 |
| 6.2 Kildedata for fly | 20 |
| 7. DESTINASJONER, TRASÉER OG PROFILER | 21 |
| 7.1 Destinasjoner | 21 |
| 7.2 Flygeprosedyrer..... | 21 |
| 7.3 Rullebaner | 21 |
| 7.4 Flytraséer..... | 22 |
| 7.5 Flygeprofiler..... | 35 |
| 8. SKALERING AV TRAFIKK | 37 |
| 8.1 Trafikkskalering etter flytype og type flyging..... | 37 |
| 8.2 Trafikkskalering etter prosedyrer og traséer..... | 37 |
| 8.3 Trafikkskalering etter tidspunkt | 37 |
| 9. BEREGNINGSPARAMETERE..... | 37 |
| 9.1 Beregningsenheter | 37 |
| 9.2 Beregning i enkeltpunkter | 37 |
| 9.3 NORTIM beregningskontroll | 37 |
| 10. RESULTATER RELATERT TIL RETNINGSLINJE T-1442 | 39 |
| 10.1 Dagens situasjon..... | 39 |
| 10.2 Prognose 2016 | 42 |

Datagrunnlag versjon 2

Dato: 18.12.07. Tid: 09:03

Filnavn: U:\prosjekt\9021-Akustikk\90E277_ENHD_JG\Arkiv\Rapport\SINTEF A4175.doc

| | |
|--|----|
| 11. RESULTATER RELATERT TIL FORURENSINGSFORSKRIFTEN | 47 |
| 11.1 Innendørs støynivå – Kartlegging og tiltak | 47 |
| 12. Andre RESULTATER | 49 |
| 12.1 Antall mennesker bosatt innenfor LEQ 50 dBA | 49 |
| 13. LITTERATUR | 51 |
| VEDLEGG 1 Flytyper og destinasjoner | 55 |

1. INNLEDNING

Avinor AS har behov for å oppdatere flystøysonekartet ved Haugesund lufthavn – Karmøy. Det eksisterende kartet fra 2001 [21] er beregnet ut i fra Miljøverndepartementets tidligere retningslinje T-1277 [8], og skal erstattes av støysonekart beregnet i henhold til gjeldende retningslinje T-1442 [7]. Den nye retningslinjen angir endringer både i beregningsgrunnlag og resulterende støysoner.

Prosjektet med å oppdatere flystøysonekartet har vært gjennomført med Ole Jørgen Holt Hanssen som ansvarlig hos oppdragsgiver og Kåre H. Liasjø, OSL AS, som faglig kontaktperson. Avinor har levert trafikkdata for 2006 og spesifisert prognosene for 2016. Datagrunnlaget er kvalitetssikret av Avinor AS.

Ved SINTEF har prosjektet vært bearbeidet av forskerne Rolf Tore Randeberg og Idar Ludvig Nilsen Granøien med sistnevnte som prosjektleder. Prosjektansvarlig i SINTEF har vært forskningssjef Truls Gjestland.

Rapporten beskriver bestemmelsene i retningslinje T-1442 fra Miljøverndepartementet og kommenterer også noen forskjeller i forhold til den gamle retningslinjen T-1277. Videre er det lagt inn en dokumentasjon av datagrunnlaget for beregningene, samt vist resultater. Det beregnes for dagens situasjon og en tiårs prognose som forskrevet i retningslinjen.

I tillegg til denne rapporten vil oppdragsgiver motta resultater digitalt i form av støysoner på SOSI filformat.

2. GENERELT OM FLYSTØY

Hensikten med dette kapitlet er å gi en forenklet innføring om hvordan flystøy virker på mennesker. Framstillingen baserer seg på anerkjent viten fra det internasjonale forskningsmiljøet.

2.1 Flystøyens egenskaper og virkninger

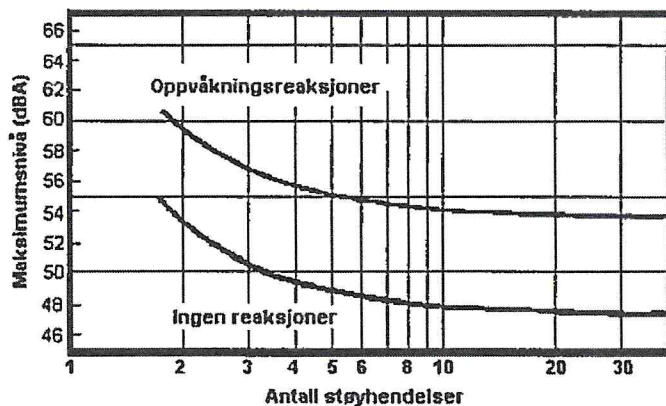
Flystøy har en del spesielle egenskaper som gjør den forskjellig fra andre typer trafikkstøy. Varigheten av en enkelt støyhendelse er forholdsvis lang, nivåvariasjonene fra gang til gang er gjerne store og støynivåene kan være kraftige. Det kan også være lange perioder med opphold mellom støyhendelsene. Flystøyens frekvensinnhold er slik at de største bidraget ligger i ørets mest følsomme område og det er derfor lett å skille denne lyden ut fra annen bakgrunnsstøy; så lett at man ofte hører flystøy selv om selve støynivået ikke beveger seg over bakgrunnsstøyen.

Folk som utsettes for flystøy rapporterer flere ulemper. De to viktigste typer er forstyrrelse av sovn eller hvile og generell irritasjon eller sjenanse. Det er viktig å merke seg at fare for hørselsskader begrenser seg til de personer som jobber nær flyene på bakken.

2.1.1 Søvnforstyrrelse som følge av flystøy

Det er bred internasjonal enighet om at *vekking* som følge av flystøy kan medføre en risiko for helsevirkninger på lang sikt, se litteraturlisten ref. [1]. Det er *ikke* konsensus på hvorvidt *endring av sovnstadium* (søvndybde) har noen negativ effekt alene, dersom dette ikke medfører vekking. (Disse betraktninger kan ikke anvendes for andre typer trafikkstøy hvor støynivået varierer mindre og ikke er totalt fraværende i perioder slik som flystøy kan være.)

Risiko for vekking er avhengig av hvor høyt støynivå en utsettes for (maksimumsnivå) og hvor mange støyhendelser en utsettes for i løpet av natten. Det er normalt store individuelle variasjoner på når folk reagerer på støyen. Derfor brukes oftest en gitt sannsynlighet for at en andel av befolkningen vekkes for å illustrere hvilke støynivå og antall hendelser som kan medføre vekking, som illustrert i *Figur 2.1*.



Figur 2.1. 10 % sannsynlighet for vekking resp. søvnstadieendring.
Sammenheng mellom maksimum innendørs støynivå og antall hendelser
[1].

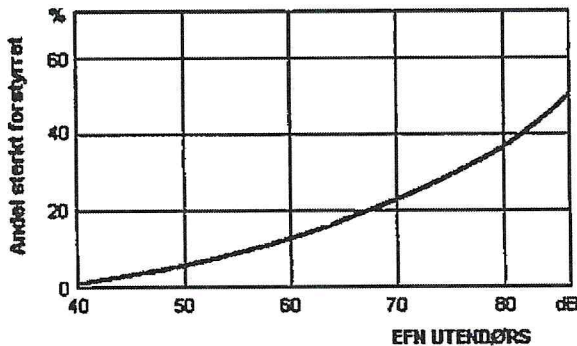
Figuren viser at man tåler høyere støynivå uten å vekkes dersom støynivået opptrer sjeldent. Når det blir mer enn ca. 15 støyhendelser i sovnperioden er ikke antallet så kritisk lenger. Da er det 10 % sjanse for vekking dersom nivåene overstiger 53 dBA i soverommet.

2.1.2 Generell sjenanse som følge av flystøy

Generell støysjenanse kan betraktes som en sammenfatning av de *ulemper* som en opplever at flystøyen medfører i den perioden man er våken. De mest vanlige beskrivelser er knyttet til *stress* og *irritasjon*, samt *forstyrrelser ved samtale og lytting* til radio, fjernsyn og musikk (se ref [2] – [6] for en grundigere beskrivelse). Det er mulig å kartlegge disse faktorene enkeltvis og samlet gjennom spørreundersøkelser i støyutsatte områder.

Det er gjort en rekke undersøkelser hvor flystøy er relatert til ekvivalent støynivå, "gjennomsnittsnivået". Figur 2.2 fra ref. [3] viser en gjennomsnitts middelkurve for de som ble ansett som de mest pålitelige av disse undersøkelsene. Antallet som føler seg "sterkt forstyrret" av flystøy er relatert til den norske måleenhet ekvivalent flystøynivå (EFN).

En stor undersøkelse fra Fornebu bekrefter i store trekk både kurveform og rapportert sjenanse for flystøy ved de normalt forekommende belastningsnivåer i boligområder innenfor flystøysonene [4]. Tilsvarende funn er gjort ved Værnes og i Bodø [5].



Figur 2.2. Middelkurve for prosentvis antall sterkt forstyrret av flystøy som funksjon av ekvivalent flystøynivå utendørs [3].

3. MILJØVERNDEPARTEMENTETS RETNINGSLINJER

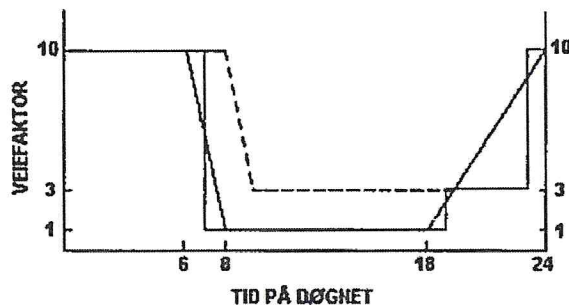
Miljøverndepartementet har i januar 2005 samlet retningslinjer for behandling av støy fra forskjellige støykilder i en ny retningslinje, T-1442 [7]. For flystøy erstatter denne T-1277 fra 1999 [8]. Den nye retningslinjen endrer både måleenheter og definisjoner av støysoner. Vi har i dette kapitlet valgt å sette de nye bestemmelserne i noen grad i sammenheng med de gamle som erstattes.

3.1 Måleenheter

En sammensatt støyindikator, som på en enkel måte skal karakterisere den totale flystøybelastning, og derved være en indikator for flest mulige virkninger, må ta hensyn til følgende faktorer ved støyen: Nivå (styrke), spektrum (farge), karakter, varighet, samt tid på døgnet. Måleenheten for flystøy må i rimelig grad samsvare med de ulemper som vi vet flystøy medfører. Et høyt flystøynivå må indikere høy ulemp.

På begynnelsen av 1980-tallet ble det i Norge utarbeidet to spesielle enheter for karakterisering av flystøy, nemlig Ekvivalent Flystøynivå (EFN) og Maksimum Flystøynivå (MFN), begge basert på lydnivåmålinger i dB(A). Enhetene ble definert i ref. [6] og lagt til grunn i retningslinjen fra 1984 og senere i 1999 [8]. Ved innføringen av ny retningslinje i 2005 [7] ble enhetene erstattet med henholdsvis L_{den} og L_{SAS} .

L_{den} er det mål som EU har innført som en felles måleenhet for ekvivalentnivå. I likhet med EFN legger måleenheten forskjellig vekt på en støyhendelse i forhold til når på døgnet hendelsene forekommer. På natt er vektfaktoren 10, på dag er den 1. Det gjelder for både EFN og L_{den} . Mens EFN har en gradvis avtrappende veiekurve på morgen og gradvis økende på kveld, har L_{den} en trinnvis overgang, se Figur 3.1. L_{den} adderer 5 dB til støyhendelser mellom kl 19 og 23. I antall operasjoner tilsvarer dette en vektning på 3.16. Dersom trafikken ved flyplassene var jevnt fordelt over døgnet, vil derfor EFN gi høyere (lineære) veiefaktor for trafikken. Ved virkelige situasjoner (og omgjort til dB) viser det seg at støyenivået målt i EFN i gjennomsnitt gir ca 1-1.5 dB høyere verdi.



Figur 3.1. Veiekurve for EFN (sort linje hverdag, stiplet linje søndag) og L_{den} (rød linje) som funksjon av tid på døgnet [6, 7].

MFN var definert som det høyeste A-veide lydnivå som regelmessig forekommer i et observasjonspunkt, og som klart kan tilskrives flyoperasjoner. "Regelmessig" ble definert til en hoppighet på minimum 3 ganger per uke. I T-1277 ble det regnet separat maksimumsnivå for natt

(22–07) og dag (07–22). MFN var ment å skulle gi utslag dersom maksimumsnivå skulle gi større ulemper enn det som beregnet ekvivalentnivå skulle innebære.

Det nye maksimumsnivået L_{5AS} er i [7] definert som det lydnivå "som overskrides av 5 % av hendelsene i løpet av en nærmere angitt periode, dvs et statistisk maksimalnivå i forhold til antall hendelser". Denne enheten kommer bare til anvendelse for hendelser som forekommer på natt mellom 23 og 07, og var ment å skulle erstatte MFN på natt. L_{5AS} vil imidlertid ikke identifisere de nivå som kan skape problem for sovnforstyrrelse relatert til *Figur 2.1*. Antallet "hendelser" vil kunne variere fra flyplass til flyplass og fra område til område ved en og samme flyplass. Når dimensjonerende nivå defineres til å være en prosentsats, vil man derfor ikke uten videre vite hvor mange hendelser dette representerer.

Retningslinjen definerer forvrig ikke begrepet "hendelse". Det betyr at det ikke er gitt hvor mye støy som skal til for at man skal inkludere noe som en hendelse. I veilederen til T-1442 [9] er dette imidlertid rettet på, slik at det er mulig å beregne størrelsen. Avklaringen i veilederen medfører at L_{5AS} beregnes som MFN på natt, med den forskjell at tidsrommet som betraktes er redusert med en time på kvelden, siden L_{5AS} beregnes for tidsrommet 23–07. Dette er i tråd med uttalt intensjon om at overgang fra MFN til L_{5AS} alene ikke skulle medføre endringer.

3.2 Støysoner til arealplanlegging

Mens retningslinje T-1277 og dens forgjenger T-22/84 definerte 4 støysoner nummerert fra I–IV, legger den nye retningslinjen opp til at det bare skal etableres 2 støysoner, gul og rød sone. I tillegg benyttes betegnelsen "hvit sone" om området utenfor støysonene. Kommunene anbefales også å etablere "grønne soner" på sine kart for å markere "stille områder som etter kommunens vurdering er viktige for natur- og friluftsinteresser". Hvit og grønn sone skal med andre ord ikke betraktes som støysoner.

3.2.1 Definisjon av støysoner

Støysonene defineres slik at det i ytterkant av gul sone kan forventes at inntil 10 % av en gjennomsnitts befolkning vil føle seg sterkt plaget av støyen. Det betyr at det vil være folk som er plaget av støy også utenfor støysonene.

De to støysonene er i retningslinjen definert som vist i den følgende tabell. Det fremgår at hver sone defineres med 2 kriterier. Hvis ett av kriteriene er oppfylt på et sted, så faller stedet innenfor den aktuelle sonen – det er med andre ord et "eller" mellom kolonnene.

| Støykilde | Støyzone | | | |
|-----------|---------------------|---|---------------------|---|
| | Gul sone | | Rød sone | |
| | Utendørs støy nivå | Utendørs støy nivå i nattperioden kl. 23 – 07 | Utendørs støy nivå | Utendørs støy nivå i nattperioden kl. 23 – 07 |
| Flyplass | 52 L _{den} | 80 L _{5AS} | 62 L _{den} | 90 L _{5AS} |

Tabell 3-1. Kriterier for soneinndeling. Alle tall i dB, frittfeltverdier.

Sammenlignet med de 4 flystøysoneene i T-1277 og tatt hensyn til at EFN kan være ca 1 dB høyere enn L_{den} , går det frem at yttergrensen for gul sone ligger noe innenfor midten av den tidligere støysone I. Yttergrensen for rød sone vil ligge noe innenfor midten av den gamle støysone III.

3.2.2 Utarbeidelse av støysonekart og implementering i kommunale planer

Ansvar for utarbeidelse av kart som viser støysoneene legges til tiltakshaver ved nye anlegg, mens anleggseier eller driver har ansvar for eksisterende anlegg. De ansvarlige oversender kartene til kommunen og har også et ansvar for å oppdatere kartene dersom det skjer vesentlige endringer i støysituasjonen. Normalt skal kartene vurderes hvert 4.–5. år.

Det skal utarbeides støysonekart for dagens situasjon og aktivitetsnivå og en prognose 10–20 år fram i tid. Kartet som oversendes kommunen skal settes sammen som en verste situasjon av de to beregningsalternativene.

Kommunene skal inkludere og synliggjøre støysonekartene i kommuneplan. Retningslinjen har flere forslag til hvordan dette kan gjøres. For varige støykilder er det foreslått å legge sonene inn på selve kommuneplankartet som støybetinget restriksjonsområde. Det anbefales at kommunene tar inn bestemmelser tilknyttet arealutnyttelse innenfor støysoneene og at det skal stilles krav til reguleringsplan for all utbygging av støyomfintlige bebyggelse innenfor rød og gul sone.

Følgende regler for arealutnyttelse er angitt i retningslinjen:

- **rød sone**, nærmest støykilden, angir et område som ikke er egnet til støyfølsomme bruksformål, og etablering av ny støyfølsom bebyggelse skal unngås.
- **gul sone** er en vurderingssone, hvor støyfølsom bebyggelse kan oppføres dersom avbøtende tiltak gir tilfredsstillende støyforhold.

3.3 Beregningsmetode

Vurdering av flystøy etter Miljøverndepartementets retningslinjer gjøres kun mot støysonegrenser som er beregnet, dvs. at man ikke benytter målinger lokalt for å fastsette hvor grensene skal gå. Den beregningsmodellen som benyttes i Norge (se avsnitt 3.3.2), er imidlertid basert på en database som representerer en sammenfatning av et omfattende antall målinger. Under forutsetning av at beregningsmodellen nyttes innenfor sitt gyldighetsområde og at datagrunnlaget gir en riktig beskrivelse av flygemønsteret rundt flyplassen, så må det derfor gjøres meget lange måleserier for å oppnå samme presisjonsnivå som det beregningsprogrammet gir.

Målinger kan nytties som korrigende supplement ved kompliserte utbredelsesforhold, ved spesielle flyprosedyrer, eller når beregningsprogrammet eller dets database er utilstrekkelig.

3.3.1 Dimensjonering av trafikkgrunnlaget

I retningslinje T-1277 ble det lagt til grunn at den travleste sammenhengende 3-måneders periode på sommerstid (mellan 1. mai og 30. september) skulle benyttes som trafikkgrunnlag. Sommeren har vært valgt siden EFN ble innført som måleenhet basert på en antakelse om at sommeren representerte den tid av året da støyen hadde størst negative utslag i forhold til utendørs aktivitet. Også det faktum at flere sover med åpent vindu om sommeren ble tillagt vekt.

Veilederen til den nye retningslinjen legger seg opp til reglene fra EU direktiv 2002/49/EC¹ om at det skal benyttes et årsmiddel av trafikken. Det gis imidlertid en liten åpning for fortsatt å bruke 3 måneder på sommeren dersom trafikken er sterkt sesongpreget (turisttrafikk).

Militære øvelser som forekommer minst hvert 2. år, skal inngå i trafikkgrunnlaget.

3.3.2 Beregningsprogrammet NORTIM

Fra 1995 beregnes flystøy i Norge med det norske utviklede dataprogrammet NORTIM [10, 11] eller spesialutgaver av dette (REGTIM og GMTIM). Programmene er utviklet av SINTEF for de norske luftfartsmyndigheter og var opprinnelig basert på rutiner fra programmet Integrated Noise Model (INM), utviklet for det amerikanske luftfartsverket, FAA. Programmene har imidlertid gjennomgått en betydelig modernisering og har svært lite igjen av den opprinnelige kildekoden.

Det unike med NORTIM er at det tar hensyn til topografiens påvirkning av lydutbredelse, samt lydutbredelse over akustisk reflekterende flater. NORTIM beregner i en og samme operasjon alle de aktuelle måleenhetene som er foreskrevet i retningslinjene. Beregning av MFN og EFN er således supplert med L_{den} og L_{SAS} . Andre støymål som beregnes er blant annet ekvivalentnivået, L_{Aeq} , for dag og for natt eller for hele det dimensjonerende middeldøgn.

Grensesnittet mellom operatør og program er betydelig forbedret slik at arbeidsbelastningen er redusert til under det halve. Nødvendige hjelpeprogram foretar statistisk behandling av trafikkdata, forenker innlesing av beregningsgrunnlaget og uttegning av kart og resultater. Beregningsresultatene fremkommer som støykurver (sonegrenser) som kan tegnes i ønsket målestokk. Alle resultatene leveres på SOSI filformat.

NORTIM programmene ble i 2002 endret ved at nye algoritmer for beregning av bakkedemping og direaktivitet [12] ble tatt i bruk. Disse algoritmene erstatter tidligere algoritmer for beregning av lateral demping. Årsaken var at den moderne flyparken har andre karakteristika enn de som ble benyttet da de grunnleggende rutiner ble utviklet sent på 1970-tallet. De gamle rutinene var utelukkende empirisk utviklet, mens de nye er en blanding. Bakkedemping er basert på en teoretisk modell [13], mens direaktivitet er basert på måleserier på Gardermoen i 2001 [14] og således empiriske. Etter disse opprettningene av programkoden viser sammenligninger av lang tids målinger og beregninger for tilsvarende trafikk et avvik på i gjennomsnitt under 0.5 dBA [12].

Beregningsprogrammet inneholder en database for 275 ulike flytyper. Databasen er i hovedsak en kopi av INM 6.0c databasen [15] og senere oppdateringer av denne, supplert med profiler fra NOISEMAP [16] og med korrigerte støydata for 2 flyfamilier [12]. Ved bruk av en liste over substitutter for flytyper som ikke inngår i databasen, kan det beregnes støy fra omlag 650 forskjellige typer fly. I tillegg er det mulig å legge inn brukerdefinerte data for fly- og helikoptertyper som ikke er definert i databasen. I slike situasjoner hentes data fra andre anerkjente kilder eller egne målinger.

3.4 Kartlegging i henhold til forskrift til forurensningsloven

Forskrift om grenseverdier for lokal luftforurensning og støy ble første gitt ved kongelig resolusjon 30. mai 1997, med virkning fra 1. juli samme år. Forskriften er hjemlet i forurensningsloven, ble senest oppdatert i 2004 [17] og omtales nå som forurensningsforskriften.

¹ EU Directive 2002/49/EC Assessment and management of environmental noise

Forurensningsforskriften fastsetter grenseverdier som skal utløse kartlegging og utredning av tiltak mot støy. Kartleggingsgrensen er satt til døgnekvivalent nivå ($L_{Aeq,24h}$) på 35 dBA innendørs når bare en støytype dominerer. Dersom flere likeverdige kilder er til stede, senkes kartleggingsgrensen for hver støykilde med 3 dB til 32 dBA.

Flystøy beregnes for utendørs nivå. Det må derfor gjøres forutsetninger om hvor stor støyisolasjon (demping) husets fasader medfører for å kunne gjøre resultatene om til innendørsnivå. Fasadeisolasjon varierer med frekvensinnhold i støyen. Lave frekvenser (basslyder) går lettere gjennom, mens høye frekvenser (diskant) dempes bedre. Det betyr at forskjellige flytyper har ulik støydemping gjennom en fasade. Basert på utredning om fasadeisolasjon [18] er det i ref. [19] valgt tre forskjellige tall for fasadeisolasjon avhengig av hvilke flytyper som er støymessig dominant på hver flyplass. Grenseverdi for kartlegging baseres på de hustyper som gir minst demping i fasaden. Ut fra dette gjelder følgende grenseverdier for beregnet utendørs døgnekvivalent nivå ($L_{Aeq,24h}$):

Tabell 3-2. Kartleggingsgrenser i henhold til forurensningsloven.

| Flyplassstype | Støymessig dominérende flytype | Minimum fasadeisolasjon i vanlig bebyggelse | Kartleggingsgrense relativt til frittfeltnivå |
|---------------------------------------|--------------------------------|---|---|
| Regionale flyplasser | Propellfly | 18 dBA | 53 dBA (35+18) |
| Stamruteplasser / militære flyplasser | Eldre jetfly / Jagerfly | 23 dBA | 58 dBA (35+23) |
| Stamruteplasser | Støysvake jetfly | 26 dBA | 61 dBA (35+26) |

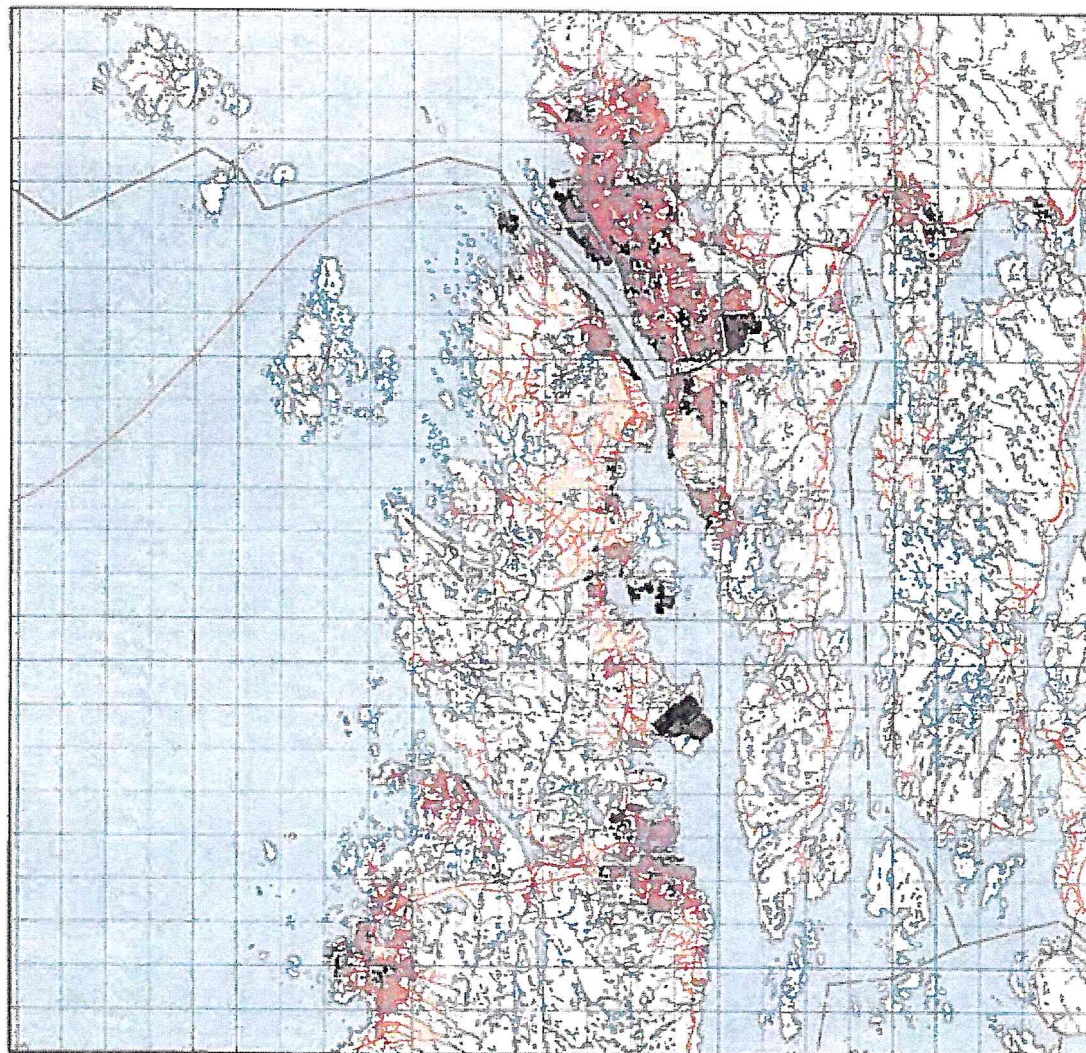
4. OMGIVELSER

4.1 Digitalt kartgrunnlag

Digitalt kartgrunnlag er levert av Norkart med basis i Avinors avtale med Statkart. Kartunderlaget er N50 og levert på SOSI format, nærmere beskrevet i den følgende tabell.

Tabell 4-1. Digitalt kartunderlag.

| Name | ICAO code | OrigoEast | OrigoNorth | CoordSys | CoordAxis |
|-----------|-----------|-----------|------------|----------|-----------|
| Haugesund | ENHD | 284000 | 6585000 | 7 | 32 |



Figur 4.1. Utsnitt av kart i målestokk 1:150.000. Rutestørrelse er 1 x 1 km.

4.2 Digital terrengmodell

Digital topografi med punkttetthet 25 x 25 meter er tidligere levert av Avinor, konvertert til felles kartsystem UTM sone 33, og pakket i filformatet TOZ. På grunn av at kartgrunnlaget er levert i UTM sone 32, vil flygetraséer og kartreferanser bli transformert til UTM sone 33 før beregning. Beregningsresultatene vil tilsvarende transformeres tilbake til UTM sone 32 for presentasjon på kartbakgrunn.

NORTIM legger automatisk inn rullebanen som en akustisk hard flate i form av et rektangel med rullebanens bredde og lengde pluss 50 meter lengde i hver ende. Terrenghøyde 0 (havnivå) vil automatisk bli tolket som en akustisk hard flate. Alt annet terreng regnes som "mykt".

4.3 Bygningsdata

Det er gjort uttrekk fra databasen *Norges Eiendommer* tilhørende Norsk Eiendomsinformasjon as, det såkalte GAB registeret. Utrekket er gjort 9. oktober 2007 og omfatter bygninger med adresser og eiere, gårds og bruksnummer etc., samt nord- og øst-koordinater. Ut fra bygningstype som er angitt i databasen, sorteres det ut bygninger som er definert som "støyemfintlige" i retningslinjen.

5. FLYTRAFIKK

I henhold til retningslinje T-1442 skal trafikken for et helt kalenderår legges til grunn ved beregning av flystøy.

5.1 Trafikk i følge tårnjournal

Elektroniske lister med all registrert trafikk for 2006 er mottatt fra Avinor. Registreringene viser flytype, hvor flyet kom fra eller skulle til, samt tidspunkt for landing eller avgang. Listene er importert til NORTIM og danner utgangspunkt for den videre bearbeiding.

5.2 Annen trafikk

Det er ikke lagt inn annen trafikk enn den elektronisk registrerte trafikken.

5.3 Oppsummering av trafikk

Tabellene og figuren under oppsummerer trafikken for 2006.

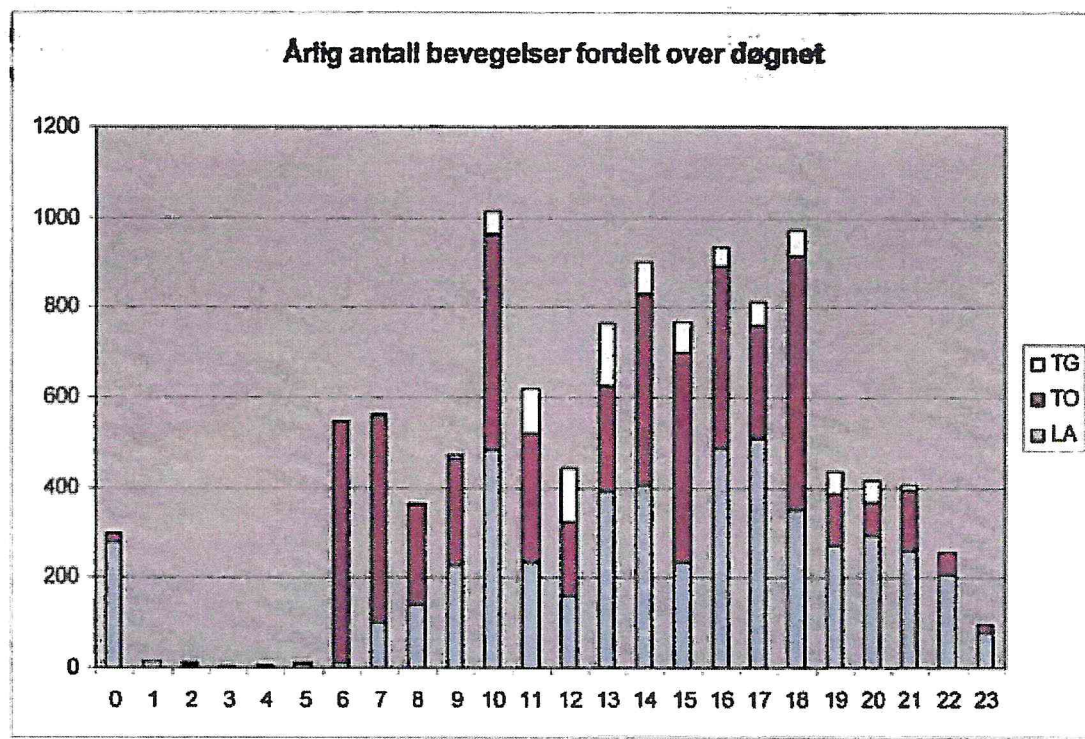
Tabell 5-1. Totalt antall landinger(LA), avganger (TO) og Touch & Go-operasjoner (TG) i 2006.

| TO | LA | SumOper |
|----|------|---------|
| LA | 5158 | |
| TG | 809 | |
| TO | 5175 | |

Offisiell statistikk fra Avinor (<http://www.avinor.no/>) angir totalt 10675 (sivile) bevegelser, mot 10696 i henhold til de elektroniske listene (inkludert 435 oppsøringer med Touch & Go). Denne forskjellen (0.2 %) er så liten at det ikke betyr noe for resultatet.

Tabell 5-2. Flybevegelser i 2006 fordelt på kategori flygning.

| FLT | Type flygning | SumOper |
|-----|---|---------|
| 1 | Ruteflyging | 7130 |
| 2 | Ikke regelbunden trafikk | 995 |
| 3 | Fraktflyging | 71 |
| 4 | Kontinentalsokkelflyging (m/helikopter) | 9 |
| 5 | Annen kommersiell helikopterflyging | 368 |
| 6 | Annen kommersiell flyging | 35 |
| 11 | Ettersøkning- og redningstjeneste | 24 |
| 12 | Ambulanseflyging | 134 |
| 13 | Skole- og instruksjonsflyging | 396 |
| 14 | Posisjonsflyging | 232 |
| 15 | Teknisk retur flyging | 6 |
| 16 | Kontrollflygninger | 12 |
| 17 | Allmen flyging | 1658 |
| 21 | Militær flyging | 72 |



Figur 5.1. Fordeling av trafikken over døgnet.

5.4 Prognoser

Prognoser for passasjertall og antall bevegelser fram mot 2020 er gitt i [22]. Tabellen under viser forventet trafikkøkning for innenlands og utenlands trafikk.

| | Innland | Utland | Bevegelser |
|---------|---------|--------|------------|
| 2005-10 | 0.6 % | 9.5 % | 2.1 % |
| 2010-15 | 0.7 % | 4.7 % | 1.6 % |
| 2015-20 | 0.8 % | 4.7 % | 1.8 % |

For beregningen blir prosentsatsen for totalt antall bevegelser brukt til å skalere rute- og chartertrafikk (FLT-kode 1 og 2 i *Tabell 5-2*). For perioden fra 2006 til 2016 gir dette en total skaleringsfaktor på $1.021^4 \cdot 1.016^5 \cdot 1.018 = 1.198$, altså en økning på 19.8 %.

For annen trafikk enn rute- og chartertrafikk antas ingen endring.

6. FLYTYPER

Databasen for støyberegninger inneholder støy- og operative data for en rekke fly- og helikoptertyper. Disse har ofte andre navn enn det luftrafikkjenesten bruker (ICAO-koder). I dette kapitlet kobles disse sammen og det tilordnes støydata til de ulike fly- og helikoptertyppene.

6.1 Flytyper i bruk

Fly- og helikopter i den elektroniske trafikklisten som ikke finnes i databasen, er erstattet med godkjente substitutter. I Vedlegg 1 er det vist hvilke betegnelser som er brukt i trafikklisten og hvilke databasetype de er assosiert eller substituert med. Det er også benyttet samlebetegnelser for mindre fly, GASEPF og GASEPV, for enmotors småfly med stempelmoter og propell henholdsvis med fast og variabel pitch. BEC58P benyttes på samme måte som en samlebetegnelse på små tomotors propellfly med stempelmotor. For helikopter som ikke har egne data er det benyttet betegnelsene LHEL, MHEL og THEL for lett, middels og tungt helikopter. Disse tre klassene modelleres med data for henholdsvis Bo105, SA365 og SK61. Data for DHC6 benyttes til å modellere flere to-motors turboprop-fly i samme klasse. Her representerer den bl.a. BE20, E110, JS31 og JS32. Etter oversettelsen og substitueringen er de 112 flytypene i de elektroniske listene redusert til 41 flytyper.

Tabell 6-1. Antall registrerte bevegelser i 2006 fordelt på flytyper.

| NewACtyp | SumOper | NewACtyp | SumOper | NewACtyp | SumOper |
|----------|---------|----------|---------|----------|---------|
| 737400 | 294 | CNA172 | 361 | HS748A | 6 |
| 737500 | 609 | CNA206 | 21 | LEAR35 | 70 |
| 737700 | 1954 | CNA20T | 81 | LHEL | 41 |
| 737800 | 1078 | CNA441 | 24 | MD82 | 4 |
| 757PW | 2 | CNA500 | 114 | MU300I | 40 |
| A109K2 | 301 | DHC6 | 2766 | PA28 | 296 |
| A320 | 70 | DHC8 | 7 | PA31 | 16 |
| A32123 | 16 | DHC830 | 1338 | R22 | 28 |
| B212 | 13 | EMB145 | 2 | S76 | 25 |
| BAE146 | 316 | FAL20 | 14 | S92 | 73 |
| BEC58P | 81 | GASEPF | 802 | SA330 | 31 |
| C130HP | 6 | GASEPV | 102 | SA350 | 52 |
| CIT3 | 8 | GIV | 2 | THEL | 70 |
| CL600 | 6 | GV | 2 | | |

Flytyper som har tilnærmet samme operasjonsmønster samles i grupper for å forenkle beregningsgrunnlaget. I Vedlegg 1 vises hvordan de 41 flytypene tilordnes en av fem flytypekategorier (ACcat). Fordeling av trafikk på flytypekategorier er vist i tabellen under.

Tabell 6-2. Gruppering av flytyper med samme operasjonsmønster og -egenskaper.

| ACcat | Forklaring | SumOper |
|-------|------------------|---------|
| GA | Småflytrafikk | 1759 |
| H | Helikopter | 634 |
| JET | Jetfly | 4601 |
| TPL | Lette turboprop | 2790 |
| TPR | Tyngre turboprop | 1358 |

6.2 Kildedata for fly

Støydata hentes fra databasen som beskrevet i avsnitt 3.3.2, for hver av de 41 flytypene, med unntak for S92. For dette helikopteret er støydata stilt til rådighet av Avinor, som har utført målinger for denne helikoptertypen [24].

7. DESTINASJONER, TRASÉER OG PROFILER

I denne rapporten benyttes "destinasjon" som et samlebegrep for hvor innkommende fly og helikopter kommer fra, og hvor utgående fly og helikopter skal til. Dette kapitlet presenterer også de traséer og høydeprofiler som ligger til grunn for beregningene.

7.1 Destinasjoner

Destinasjoner gjenkjennes i listen i Location Indicators (ICAO Doc 7910). Destinasjonene samles så i grupper avhengig av i hvilken retning de ligger i forhold til flyplassen. I Vedlegg 1 er det vist hvordan denne sorteringen er foretatt. Tabellen under viser hvordan trafikken fordeler seg på destinasjonsgruppene.

Tabell 7-1. Trafikkmengder i forskjellige retninger fra flyplassen.

| TO | LA | DepDestGroup | SumOper |
|----|---------|--------------|---------|
| LA | Lokal | 246 | |
| LA | Nord | 1677 | |
| LA | Sør | 734 | |
| LA | Sørvest | 419 | |
| LA | Øst | 2082 | |
| TG | Lokal | 737 | |
| TG | Nord | 18 | |
| TG | Sør | 54 | |
| TO | Lokal | 245 | |
| TO | Nord | 1679 | |
| TO | Sør | 764 | |
| TO | Sørvest | 393 | |
| TO | Øst | 2094 | |

7.2 Flygeprosedyrer

I beregningsgrunnlaget etableres prosedyrer til alle aktuelle destinasjonsgruppene for hver flytypekategori for landinger og avganger til aktuelle rullebaner. Det er antatt en lik fordeling på rullebane 14 og 32, både for avganger, landinger og landingsrunder. For turboprop og jetfly er det også lagt inn instrumentbaserte prosedyrer. Det er antatt lik fordeling av visuelle og instrumentbaserte prosedyrer. Helikoptre antas å følge samme banebruk som fly.

Det er også lagt inn prosedyrer for taksing før avgang og etter landing.

Denne prosedyrefordelingen er uendret i forhold til forrige beregning [21].

7.3 Rullebaner

Rullebanene defineres med koordinater i UTM sone 32 omregnet fra koordinatene som er angitt i AIP ved hjelp av programmet SKTRANS fra Statkart. Rullebanene har betegnelsen 14/32. Begge disse angis med koordinater for terskelpunktene. Det er også lagt inn en egen landingsplass for helikopter foran terminal, med betegnelse HLA og HTO for henholdsvis landinger og avganger.

Tabell 7-2. Koordinater i UTM sone 32 for rullebaner og landingsplass for helikopter.

| RWY | FromEast | FromNorth | FromElevation | ToEast | ToNorth | ToElevation | Direction | Length |
|-----|----------|-----------|---------------|--------|---------|-------------|-----------|--------|
| 14 | 283882 | 6585229 | 19 | 285232 | 6583752 | 26 | 138 | 2001 |
| 32 | 285232 | 6583752 | 26 | 283882 | 6585229 | 19 | 318 | 2001 |
| HLA | 284688 | 6584350 | 22 | 284808 | 6584460 | 22 | 47 | 163 |
| HTO | 284808 | 6584460 | 22 | 284688 | 6584350 | 22 | 227 | 163 |

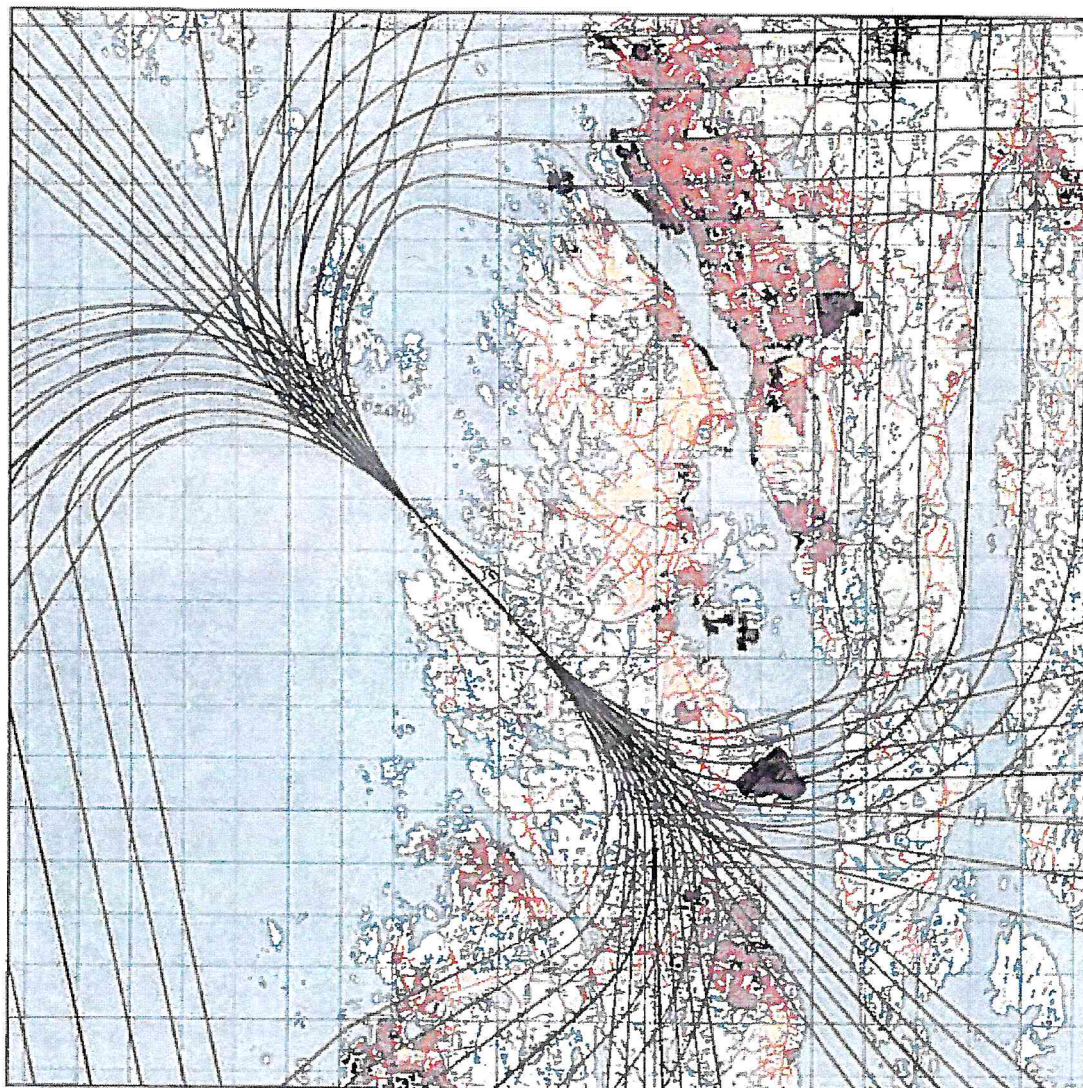
7.4 Flytraséer

Det er konstruert traséer for hver av prosedyrene beskrevet i avsnitt 7.2. For hver prosedyre er det laget én hovedtrasé, samt seks traséer som representerer en statistisk spredning av trafikken, etter standard metode [20]. Dette gjelder dog ikke traséer som representerer taksering.

I de følgende figurer er det vist traséer for landinger og avganger for hver av prosedyrene gruppert på flytypekategoriene i *Tabell 6-2*. Under hver figur er det en tabell som viser antall operasjoner per destinasjonsgruppe. Alle kart er i målestokk 1:125.000. *Figur 7.1* og *Figur 7.5* viser eksempel på spredetraséer for hhv. avganger og landinger.

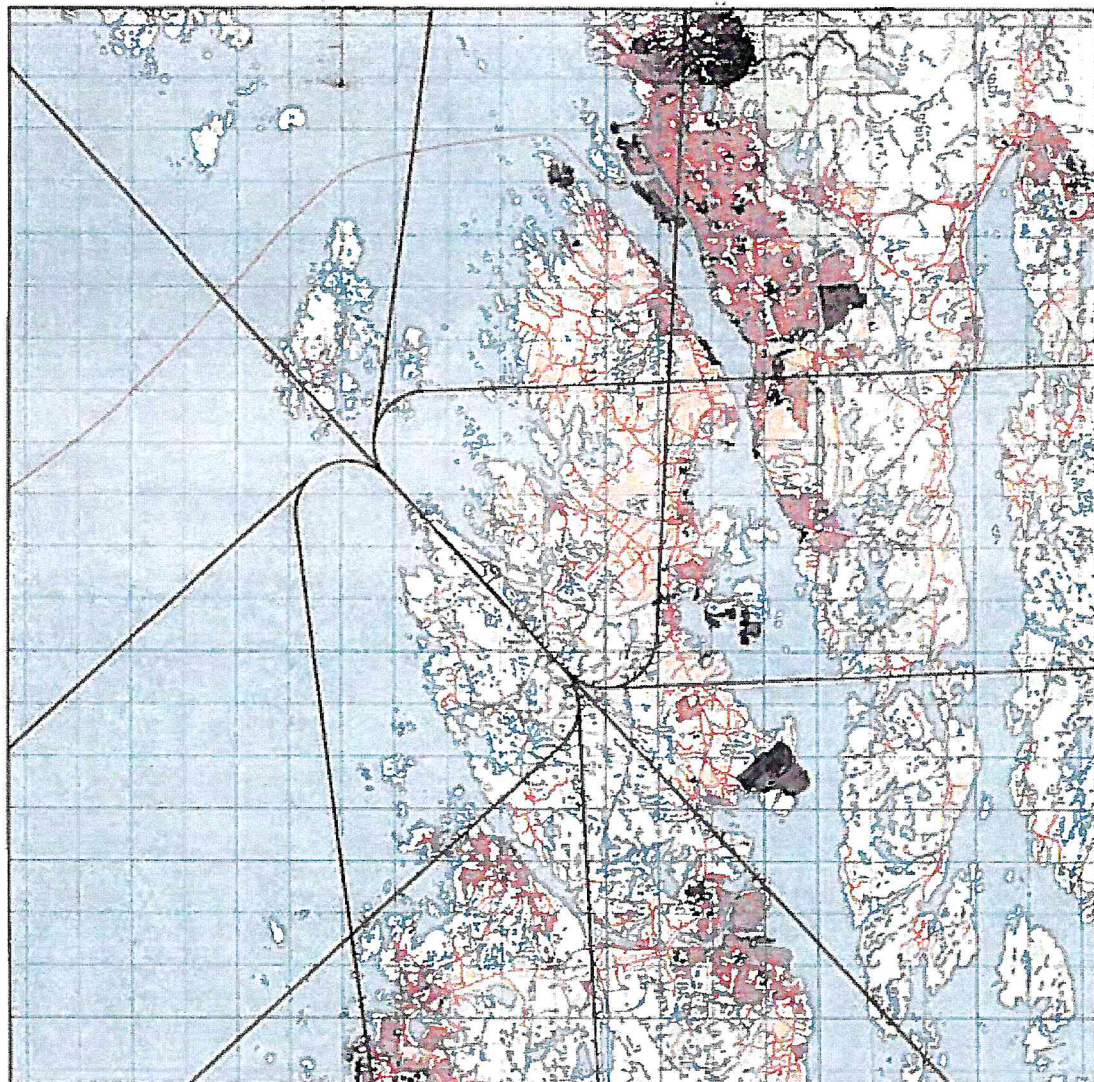
Traségrunnlaget er justert noe sammenliknet med grunnlaget for forrige beregning [21].

Det nye grunnlaget er kvalitetssikret av Avinor AS.



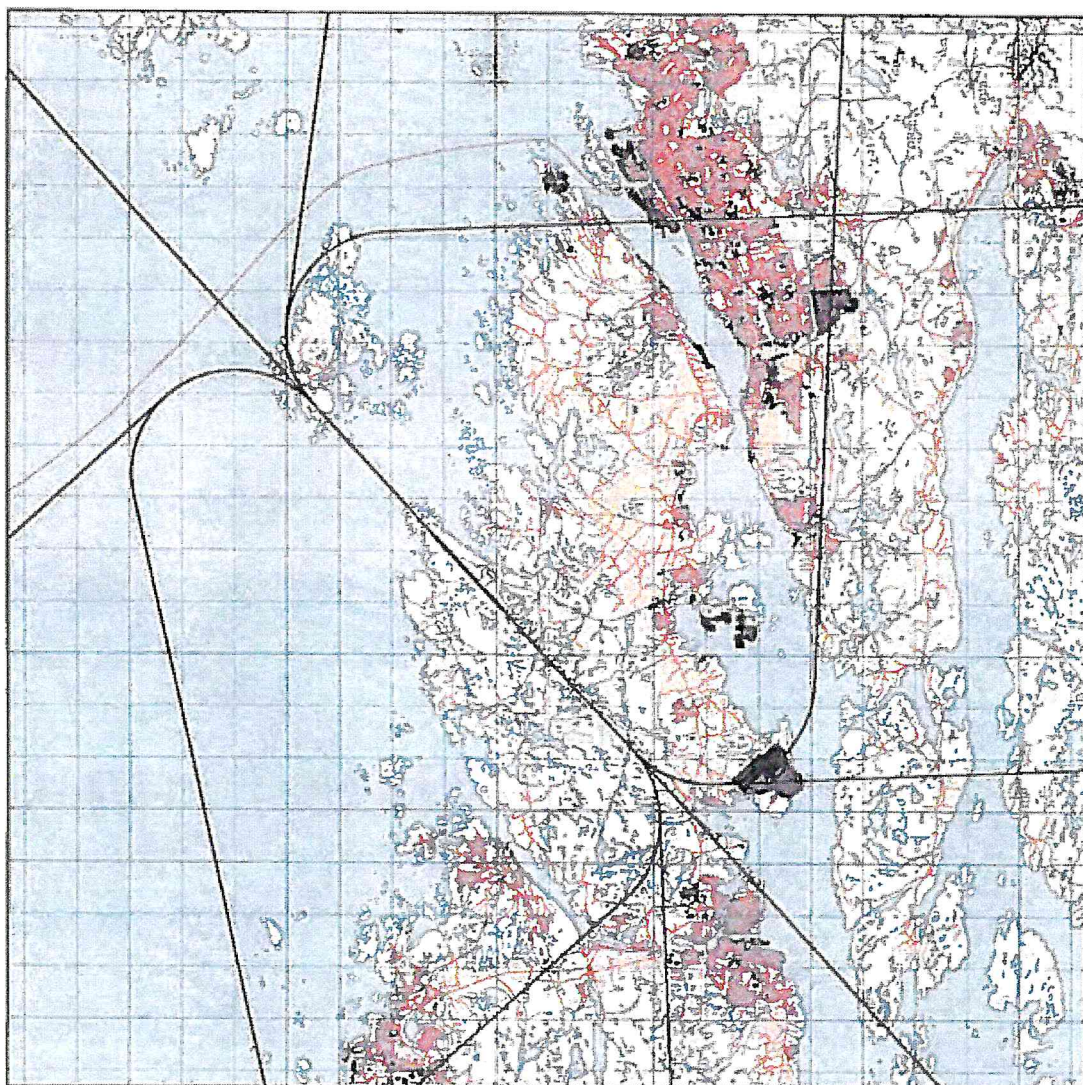
Figur 7.1. Avgangstraséer for jetfly (JET).

| TO | LA | DepDestGroup | ACcat | SumOper |
|----|---------|--------------|-------|---------|
| TO | Lokal | JET | | 2 |
| TO | Nord | JET | | 98 |
| TO | Sør | JET | | 246 |
| TO | Sørvest | JET | | 338 |
| TO | Ost | JET | | 1604 |



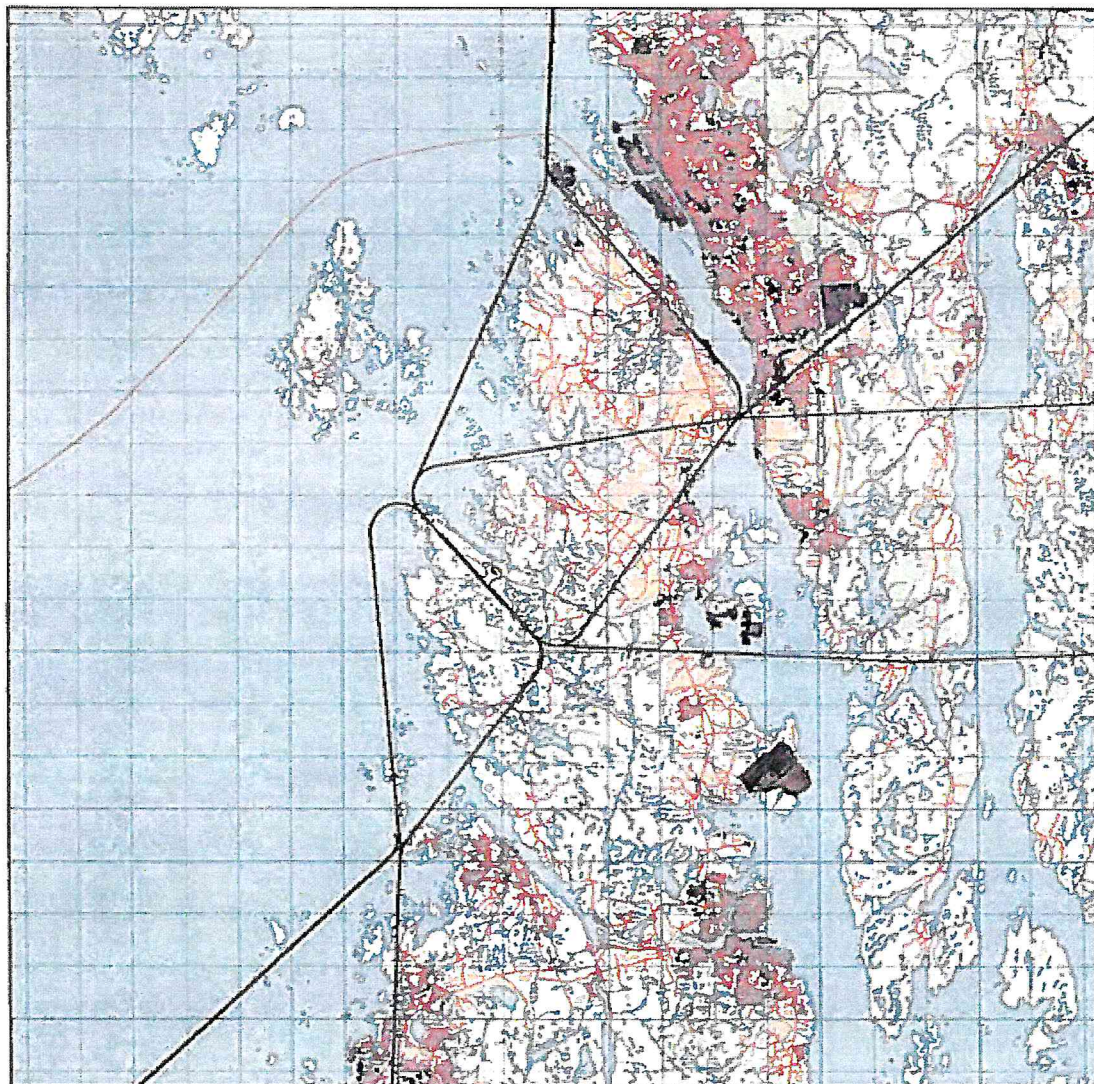
Figur 7.2. Avgangstraséer for lette turbopropfly (TPL).

| TO | LA | DepDestGroup | ACcat | SumOper |
|----|---------|--------------|-------|---------|
| TO | Lokal | TPL | | 61 |
| TO | Nord | TPL | | 754 |
| TO | Sør | TPL | | 75 |
| TO | Sørvest | TPL | | 46 |
| TO | Øst | TPL | | 445 |



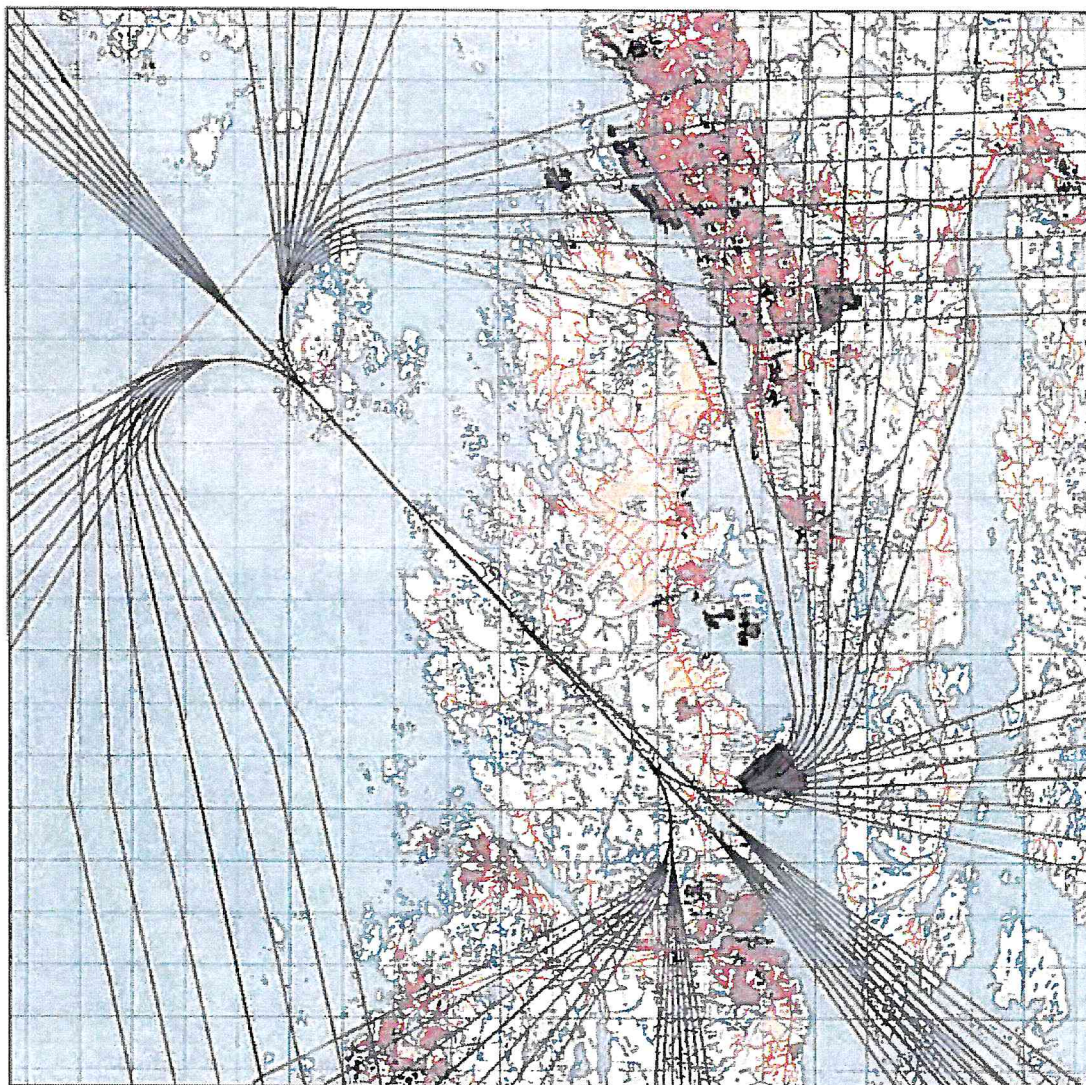
Figur 7.3. Avgangstraséer for tunge turbopropfly (TPR).

| TO | LA | DepDestGroup | ACcat | SumOper |
|----|---------|--------------|-------|---------|
| TO | Lokal | TPR | | 4 |
| TO | Nord | TPR | | 624 |
| TO | Sør | TPR | | 18 |
| TO | Sørvest | TPR | | 7 |
| TO | Øst | TPR | | 18 |



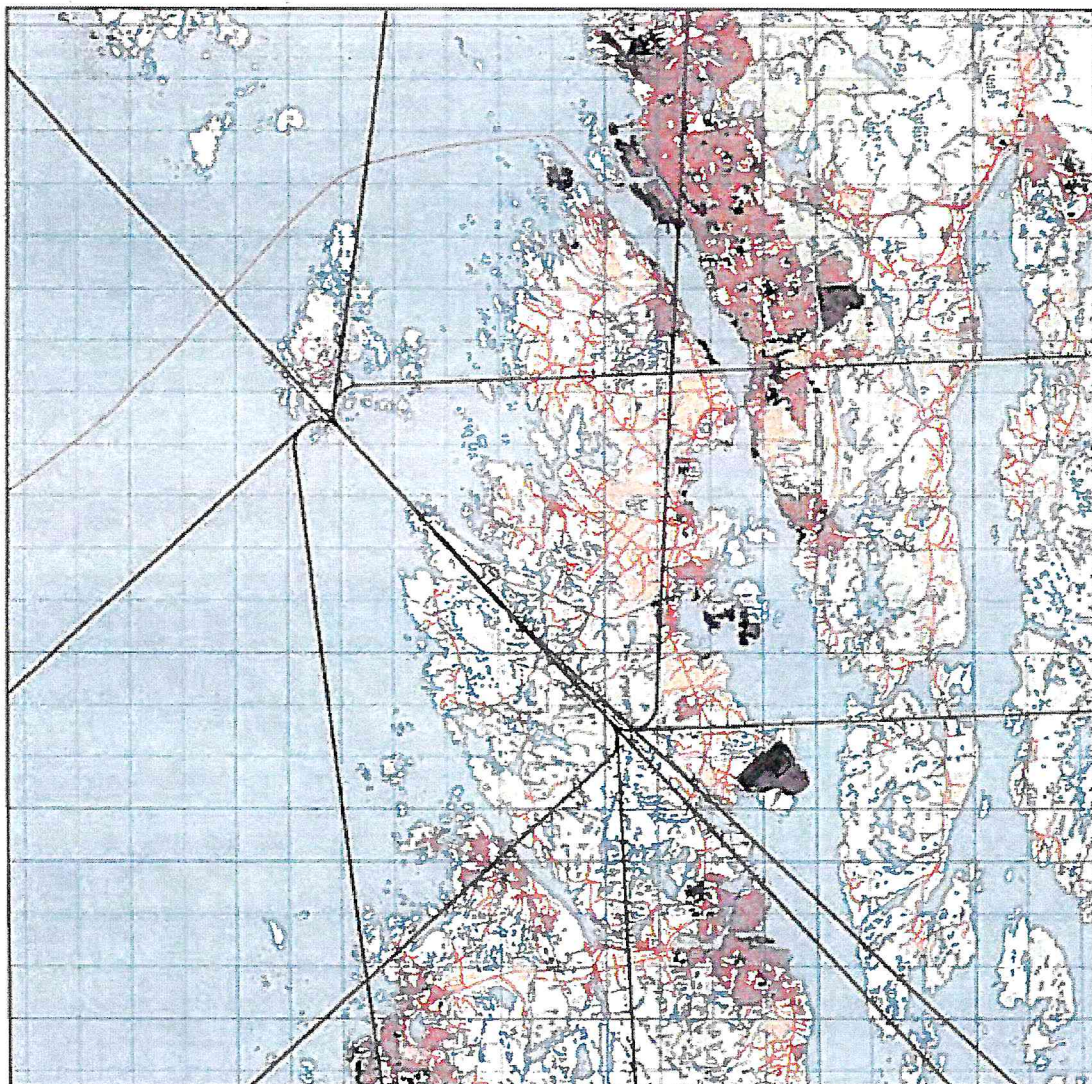
Figur 7.4. Avgangstraséer for småfly (GA).

| TO | LA | DepDestGroup | ACcat | SumOper |
|----|---------|--------------|-------|---------|
| TO | Lokal | GA | 158 | |
| TO | Nord | GA | 103 | |
| TO | Sør | GA | 266 | |
| TO | Sørvest | GA | 1 | |
| TO | Øst | GA | 21 | |



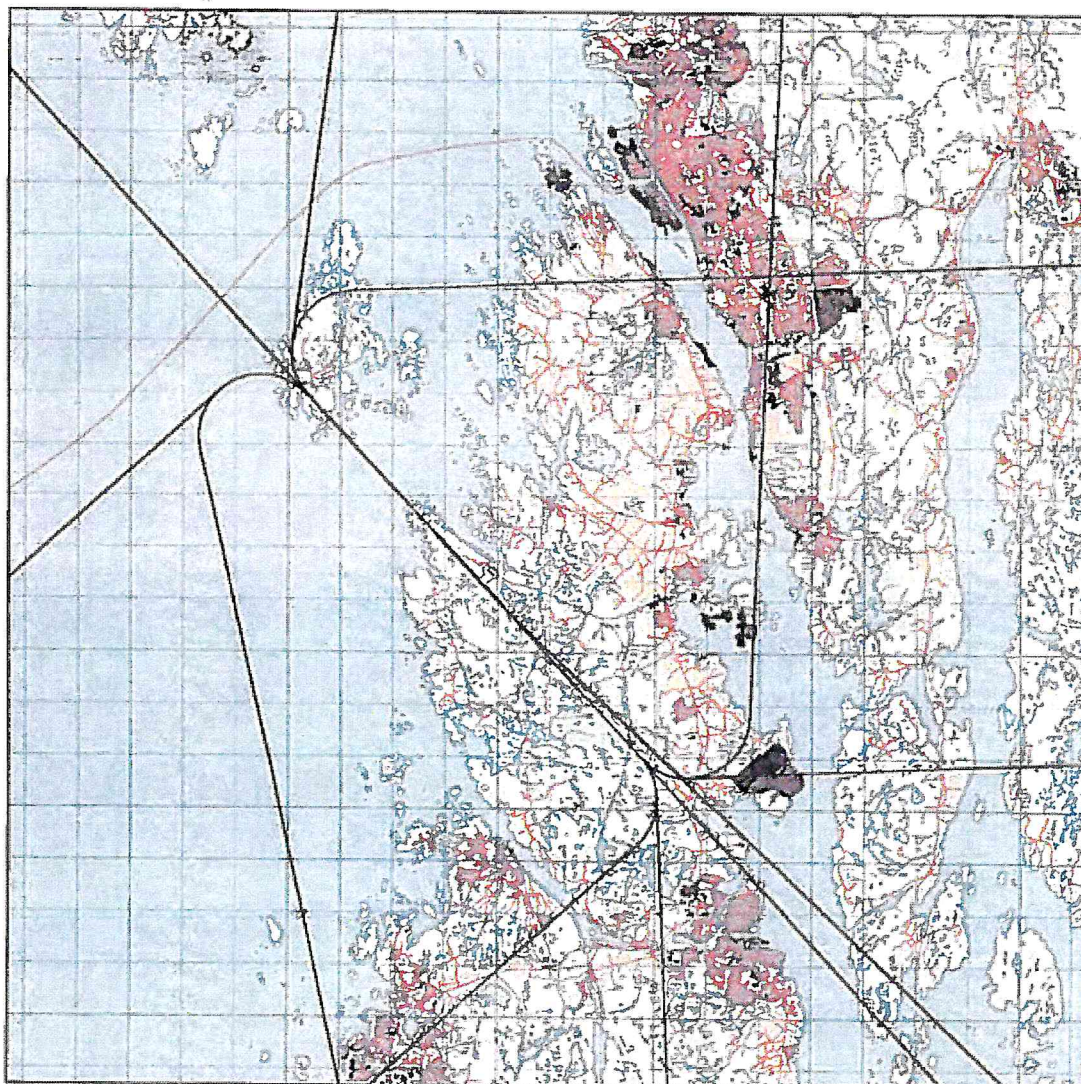
Figur 7.5. Landingstraséer for jetsfly (JET).

| TO | LA | DepDestGroup | ACcat | SumOper |
|----|---------|--------------|-------|---------|
| LA | Lokal | JET | 2 | |
| LA | Nord | JET | 96 | |
| LA | Sør | JET | 237 | |
| LA | Sørvest | JET | 359 | |
| LA | Øst | JET | 1596 | |



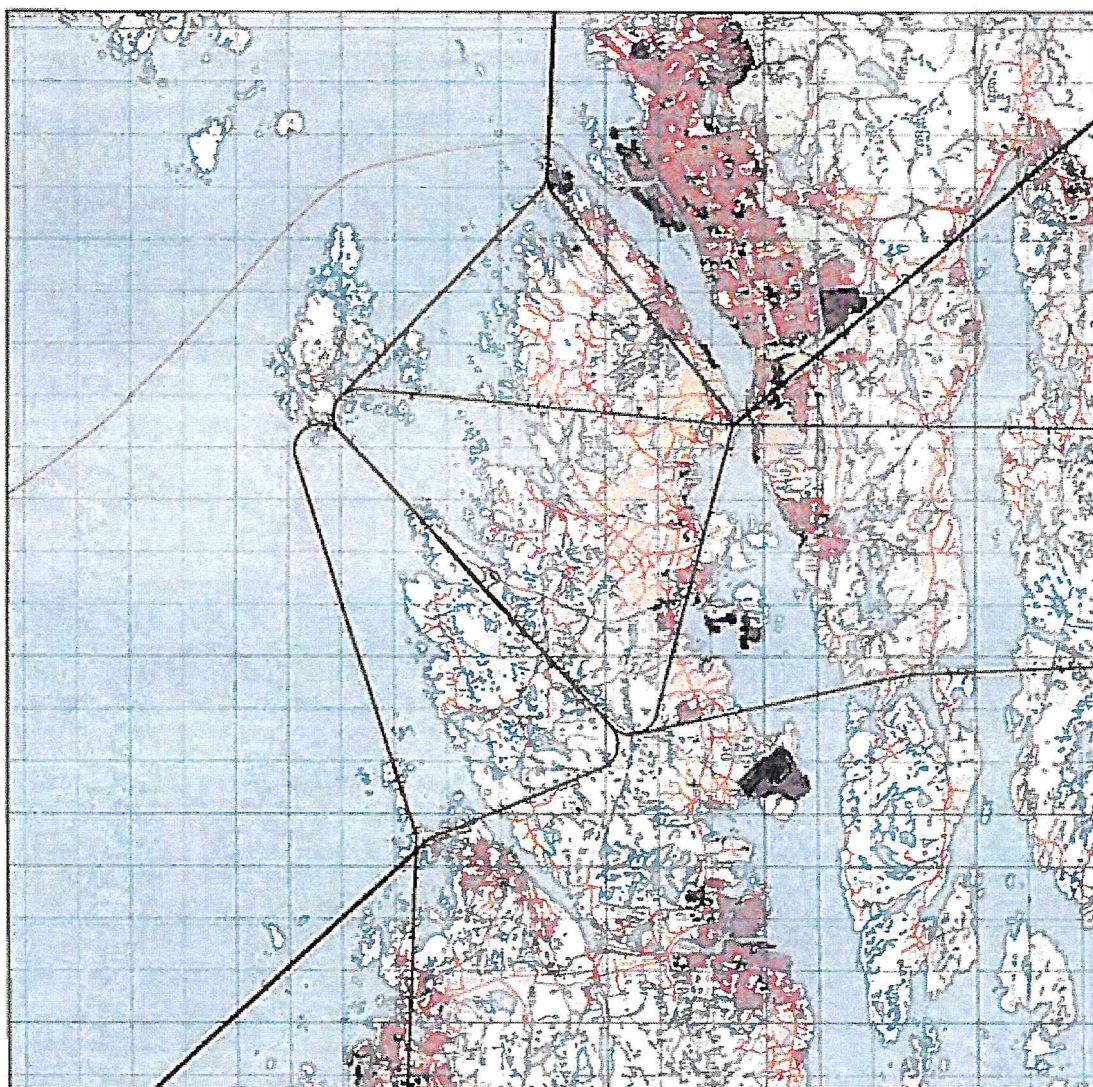
Figur 7.6. Landingstraséer for lette turbopropfly (TPL).

| TO | LA | DepDestGroup | ACcat | SumOper |
|----|---------|--------------|-------|---------|
| LA | Lokal | TPL | 61 | |
| LA | Nord | TPL | 764 | |
| LA | Sør | TPL | 75 | |
| LA | Sørvest | TPL | 47 | |
| LA | Øst | TPL | 432 | |



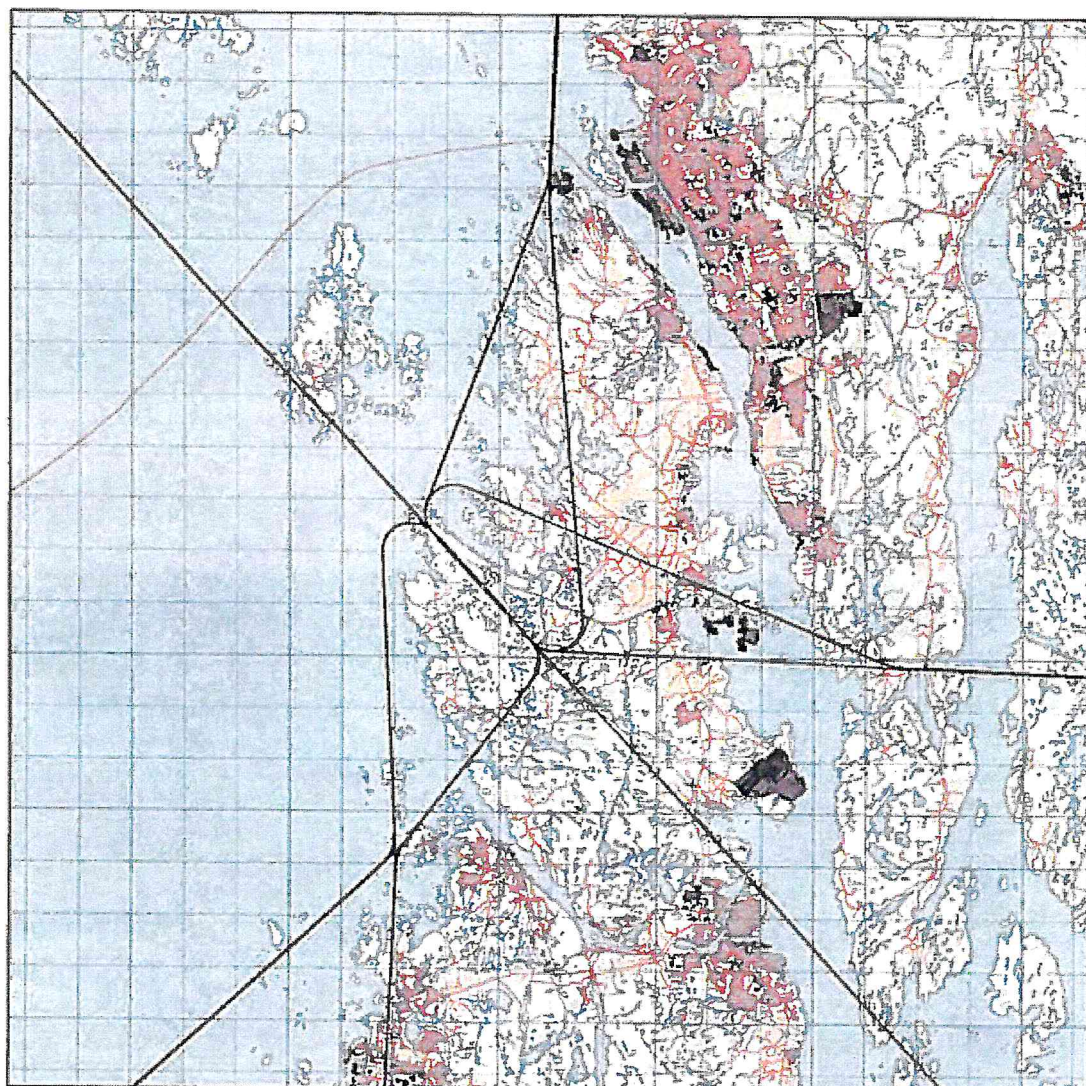
Figur 7.7. Landingstraséer for tunge turbopropfly (TPR).

| TO | LA | DepDestGroup | ACcat | SumOper |
|----|---------|--------------|-------|---------|
| LA | Lokal | TPR | | 4 |
| LA | Nord | TPR | | 616 |
| LA | Sør | TPR | | 21 |
| LA | Sørvest | TPR | | 6 |
| LA | Øst | TPR | | 24 |



Figur 7.8. Landingstraséer for småfly (GA).

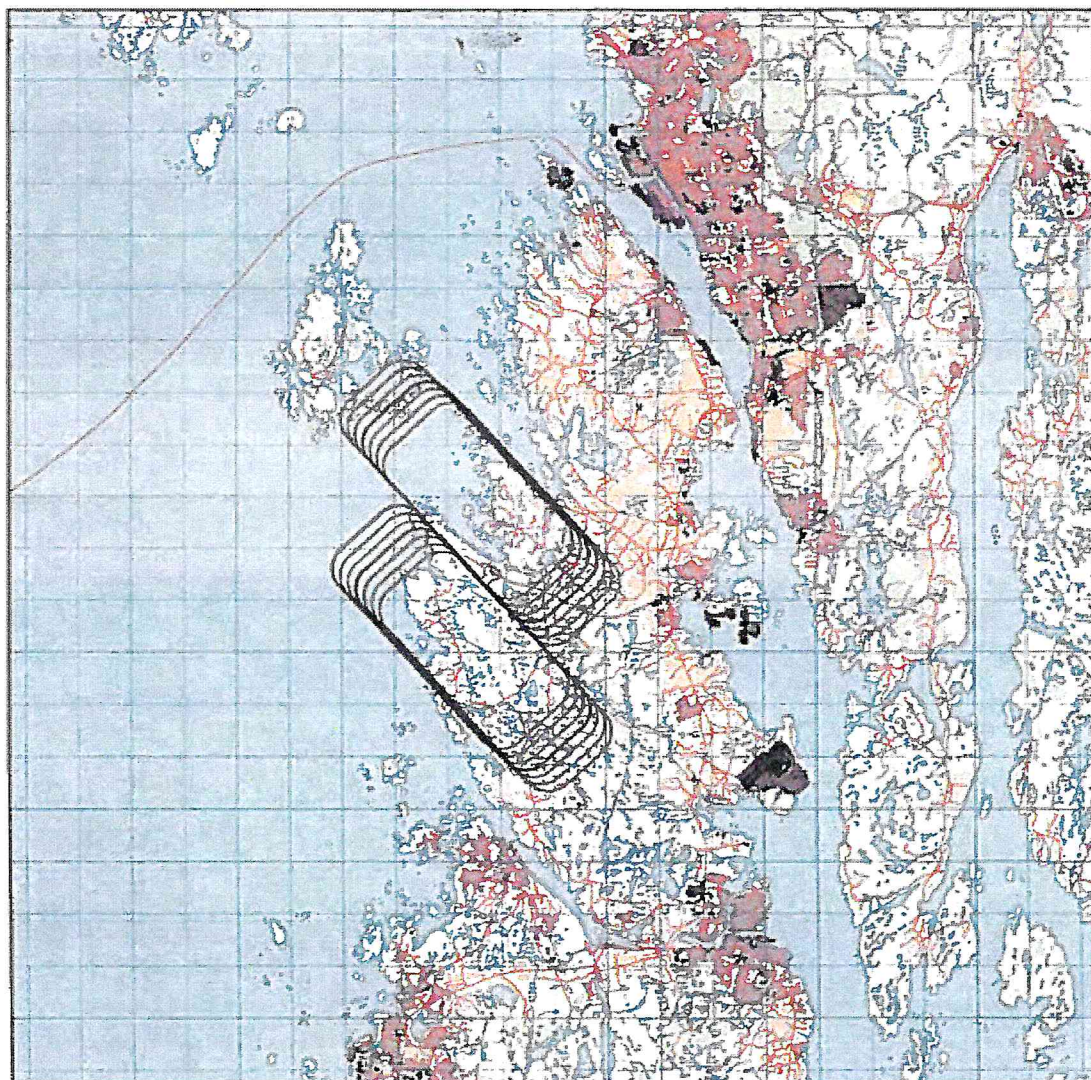
| TO | LA | DepDestGroup | ACcat | SumOper |
|----|---------|--------------|-------|---------|
| LA | Lokal | GA | 159 | |
| LA | Nord | GA | 103 | |
| LA | Sør | GA | 249 | |
| LA | Sørvest | GA | 4 | |
| LA | Øst | GA | 21 | |



Figur 7.9. Avgangs- og landingstraséer for helikopter (H).

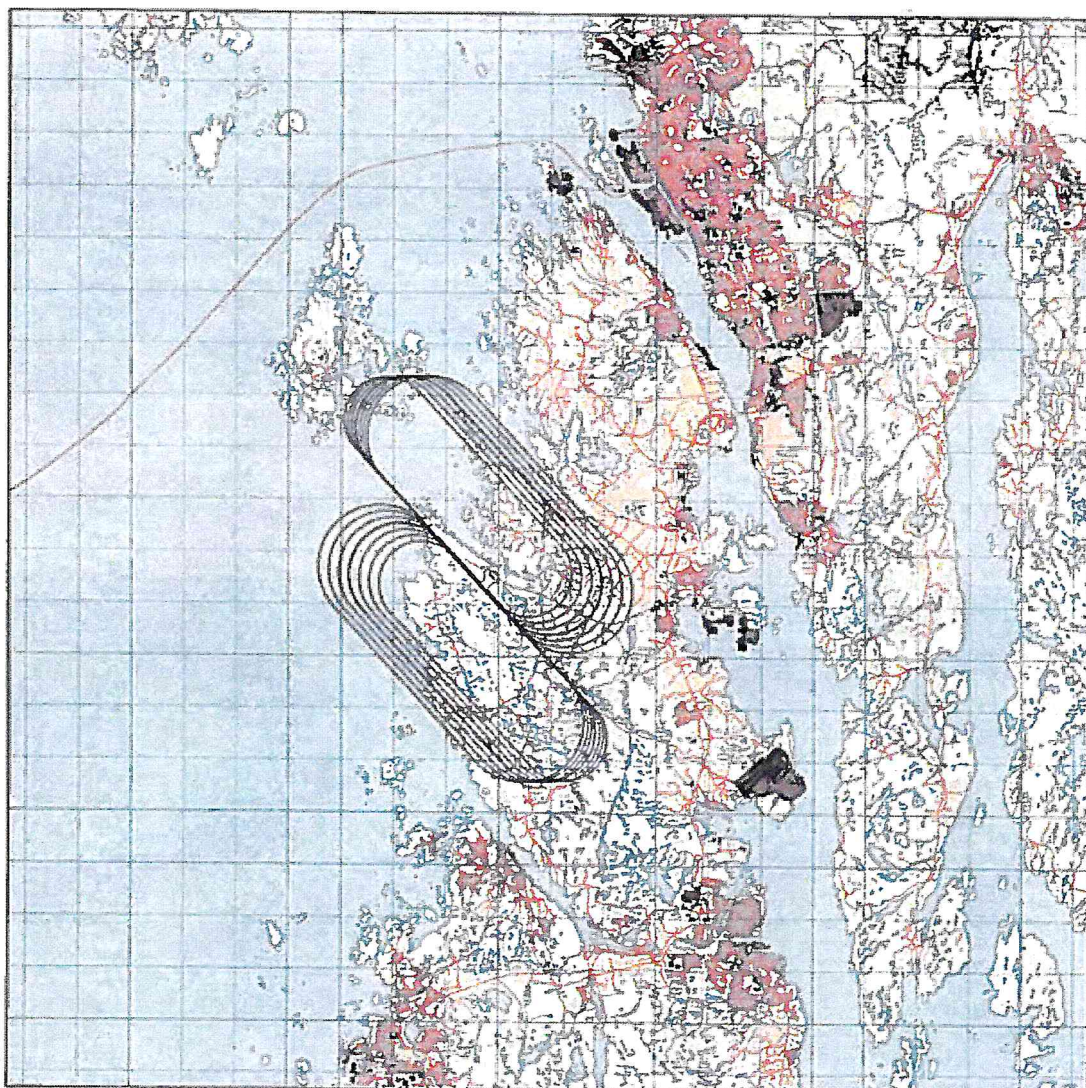
| TO | LA | DepDestGroup | ACcat | SumOper |
|----|---------|--------------|-------|---------|
| LA | Lokal | H | 20 | |
| LA | Nord | H | 98 | |
| LA | Sør | H | 152 | |
| LA | Sørvest | H | 3 | |
| LA | Øst | H | 9 | |

| TO | LA | DepDestGroup | ACcat | SumOper |
|----|---------|--------------|-------|---------|
| TO | Lokal | H | 20 | |
| TO | Nord | H | 100 | |
| TO | Sør | H | 159 | |
| TO | Sørvest | H | 1 | |
| TO | Øst | H | 6 | |



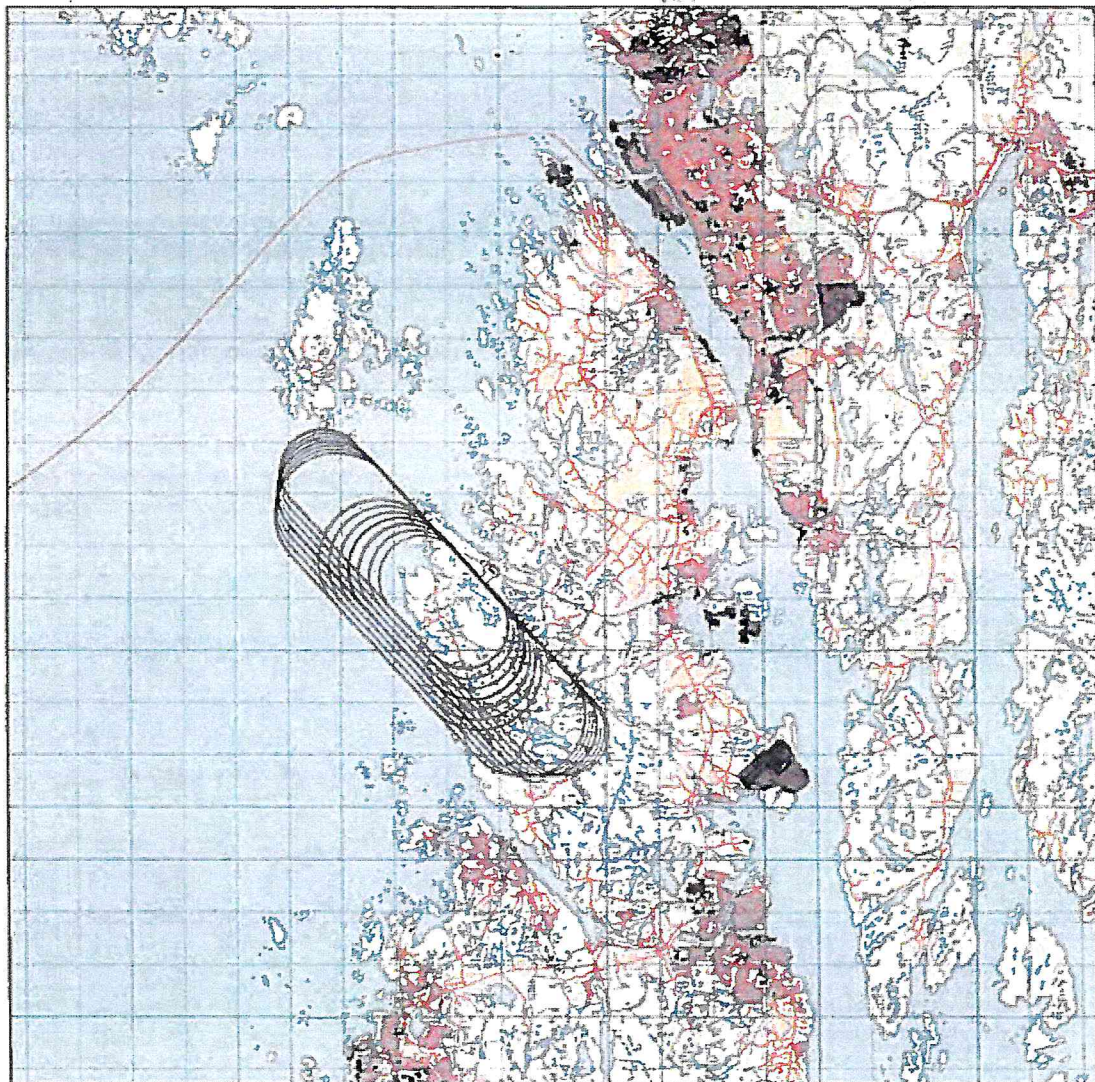
Figur 7.10. Landingsrunder for småfly (GA) og lette turbopropfly (TPL).

| TO LA | DepDestGroup | ACcat | SumOper |
|-------|--------------|-------|---------|
| TG | Lokal | GA | 615 |
| TG | Nord | GA | 10 |
| TG | Sør | GA | 49 |
| TG | Lokal | TPL | 30 |



Figur 7.11. Landingsrunder for jetfly (JET) og tunge turbopropfly (TPR).

| TO | LA | DepDestGroup | ACcat | SumOper |
|----|-------|--------------|-------|---------|
| TG | Lokal | JET | 21 | |
| TG | Nord | JET | 1 | |
| TG | Sør | JET | 1 | |
| TG | Lokal | TPR | 9 | |
| TG | Nord | TPR | 7 | |



Figur 7.12. Landingsrunder for helikopter (H).

| TO | LA | DepDestGroup | ACcat | SumOper |
|----|-------|--------------|-------|---------|
| TG | Lokal | | H | 62 |
| TG | Sør | | H | 4 |

7.5 Flygeprofiler

Med flygeprofiler menes høyde, hastighet og motorpådrag som funksjon av utfløyet distanse. For landinger brukes avstand til terskelpunktet som overflyges rett før landing. For avganger er det avstand fra startpunktet (break release) som brukes.

I databasen har de fleste flytyper avgangsprofiler for flere avgangsvekter, som velges avhengig av hvor langt det er til destinasjon, se *Tabell 3* i Vedlegg 1. I de tilfeller hvor en destinasjon er lengre unna enn den lengste Stage Length som databasen for angeldende flytype har profil for, så velges den profil for flytypen som har tyngst avgangsvekt av de som finnes. Dette gjelder f. eks. for de fleste av business jetflyene som ligger i databasen. De er sjeldent definert med mer enn én avgangsvekt. Det samme gjelder i noen grad for turboprop maskiner.

Landingsprofiler for rettlinjet innflyging er lagt inn med 3 graders glidebane til bane 14, og 3.2 graders glidebane til bane 32, med unntak av noen få helikoptertyper hvor databasen bare inneholder 6 graders glidebane. Disse helikoptertypene utgjør så liten del av den totale trafikken at dette ikke ventes å ha noen betydning.

8. SKALERING AV TRAFIKK

Skalering av trafikkmengder kan benyttes for å kompensere for eventuelt manglende datagrunnlag for dagens situasjon, samt for å skalere trafikken til andre situasjoner, som f. eks. en prognose. NORTIM kan skalere langs flere akser.

8.1 Trafikkskalering etter flytype og type flyging

Som beskrevet i kapittel 5.4, blir rute- og chartertrafikk for prognosene skalert med en faktor 1.198, tilsvarende en økning på 19.8 %. For all annen trafikk settes skaleringsfaktoren til 1.0.

8.2 Trafikkskalering etter prosedyrer og traséer

Det er ikke forventet noen endring i trafikkmønster eller destinasjoner. Alle skaleringsfaktorer knyttet til dette settes derfor til 1.0.

8.3 Trafikkskalering etter tidspunkt

Det er ikke forventet behov for en tidsmessig forskyvning av trafikken. Alle skaleringsfaktorer knyttet til dette settes derfor til 1.0.

9. BEREGNINGSPARAMETERE

9.1 Beregningsenheter

Det beregnes for de enheter som inngår i definisjon av støysonene etter T-1442 og forskriften til forurensningsloven.

9.2 Beregning i enkeltpunkter

Det gjøres punktberegninger i koordinatpunktene for alle støyomfintlige bygninger innenfor beregningsområdet.

9.3 NORTIM beregningskontroll

Beregningene foretas med en oppløsning på 256 fot (78 meter) mellom hvert punkt med mottakerhøyde 4 meter over bakken. For alle beregningene tas det hensyn til topografien.

10. RESULTATER RELATERT TIL RETNINGSLINJE T-1442

Resultatene av støyberegningene vises i form av kurver på kart. Kartenes målestokk varierer, avhengig av utstrekningen til kurvene. Alle kart har rutenett på 1 x 1 km. Samtlige kurver foreligger på SOSI filformat og leveres oppdragsgiver på elektronisk form, for uttegning på andre kart og i andre målestokker.

Både for dagens situasjon og for prognosesituasjonen vises det kart for støyenhetene som inngår i grunnlaget for konstruksjon av støysonekart etter T-1442, dvs for L_{den} og L_{SAS} (MFN23-07).

Støysonekartene framstilles ved at resultatene for L_{den} 52 dBA og L_{SAS} 80 dBA legges over hverandre og unionen av de to arealene danner gul støysone. Tilsvarende er rød støysone framstilt ved unionen av arealet som utgjøres av L_{den} 62 dBA og L_{SAS} 90 dBA.

I henhold til retningslinjen skal støysonekartet som overleveres kommunen vise en "verstetilfelle kombinasjon" av dagens situasjon og prognosene. I dette tilfellet vil det endelige støysonekartet være gitt av støysonene for prognosene. Støysonekartet er presentert i kartet i *Figur 10-6*. Tilhørende arealer er gitt i *Tabell 10.2*.

10.1 Dagens situasjon

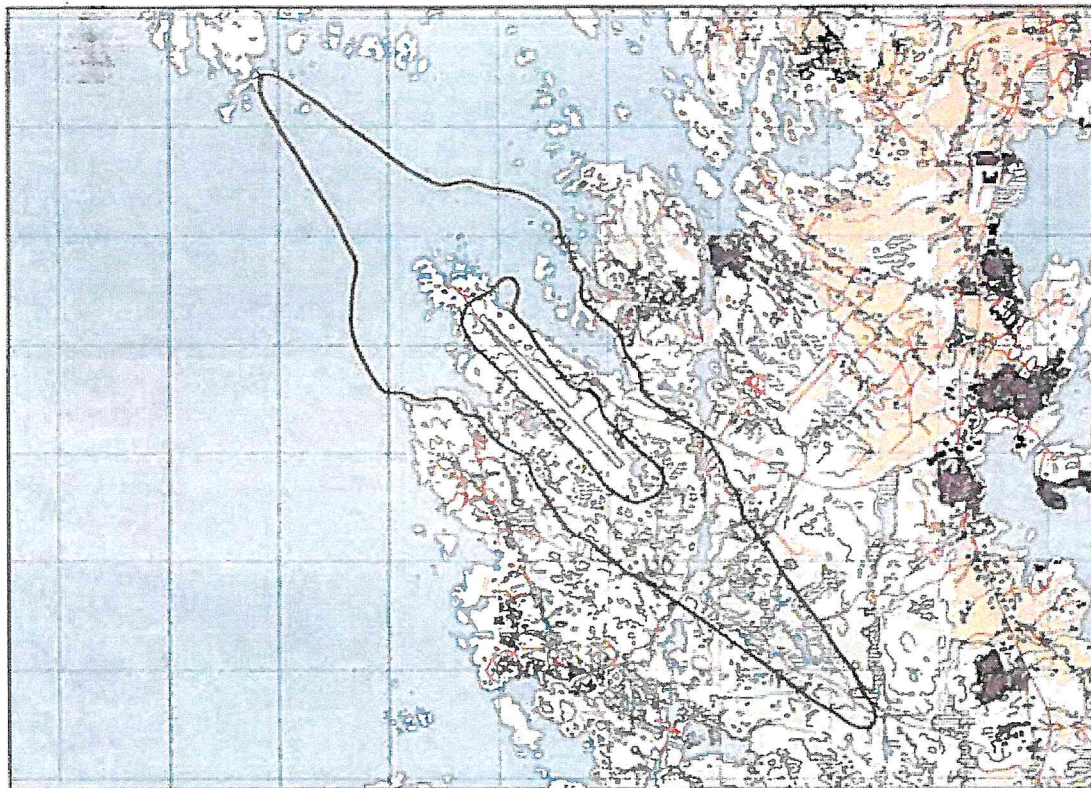
Totalt 12352 punkt på bakken inngår i beregningen av dagens situasjon. Innenfor området dette utgjør, er det i tillegg beregnet for 1356 punkt knyttet til bygninger (se avsnitt 11.1).

Det framgår av kartene på de neste sidene at gul sone er bestemt av L_{den} 52 dBA alene, bortsett fra den ytterste tuppen i nordvest, hvor L_{SAS} 80 dBA gir et lite bidrag. Rød sone er stort sett bestemt av L_{den} 62 dBA, bortsett fra noen små områder i nordvest og sørøst, hvor L_{SAS} 90 dBA bidrar noe.

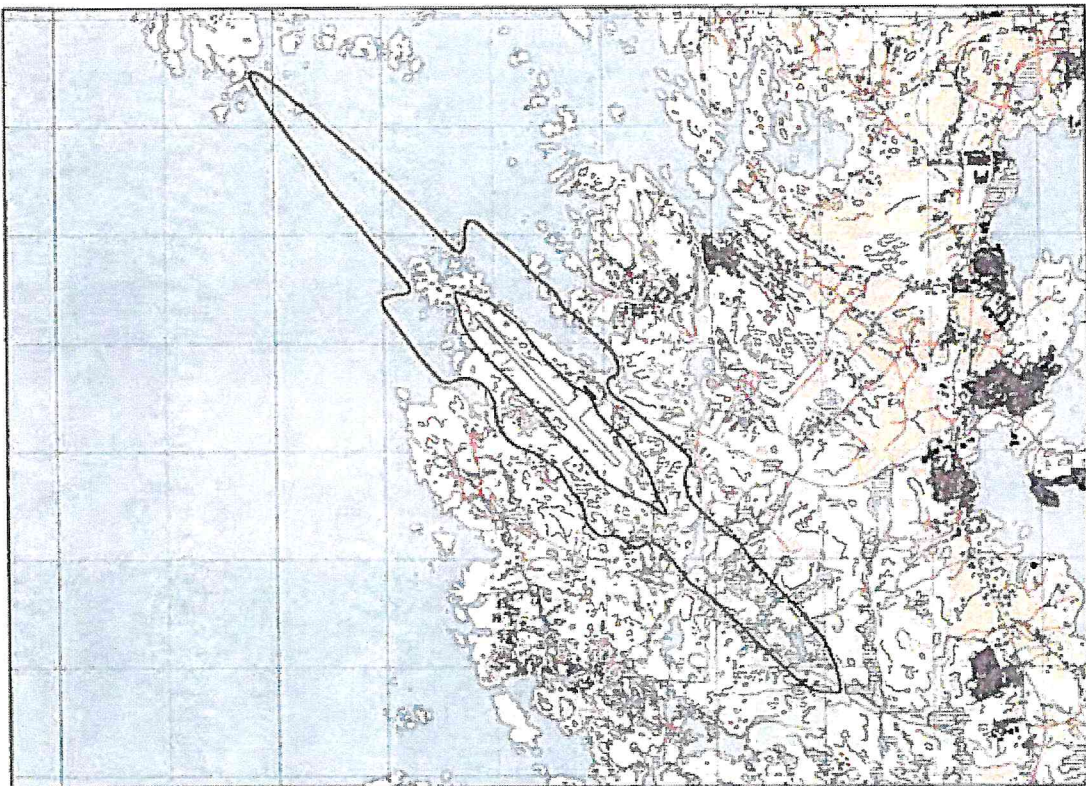
Arealene som omfattes av støysonene er gitt i tabellen under.

Tabell 10.1. Areal i støysonene for dagens situasjon. Merk at store deler av Gul sone, og noe av Rød sone, dekker områder over sjø.

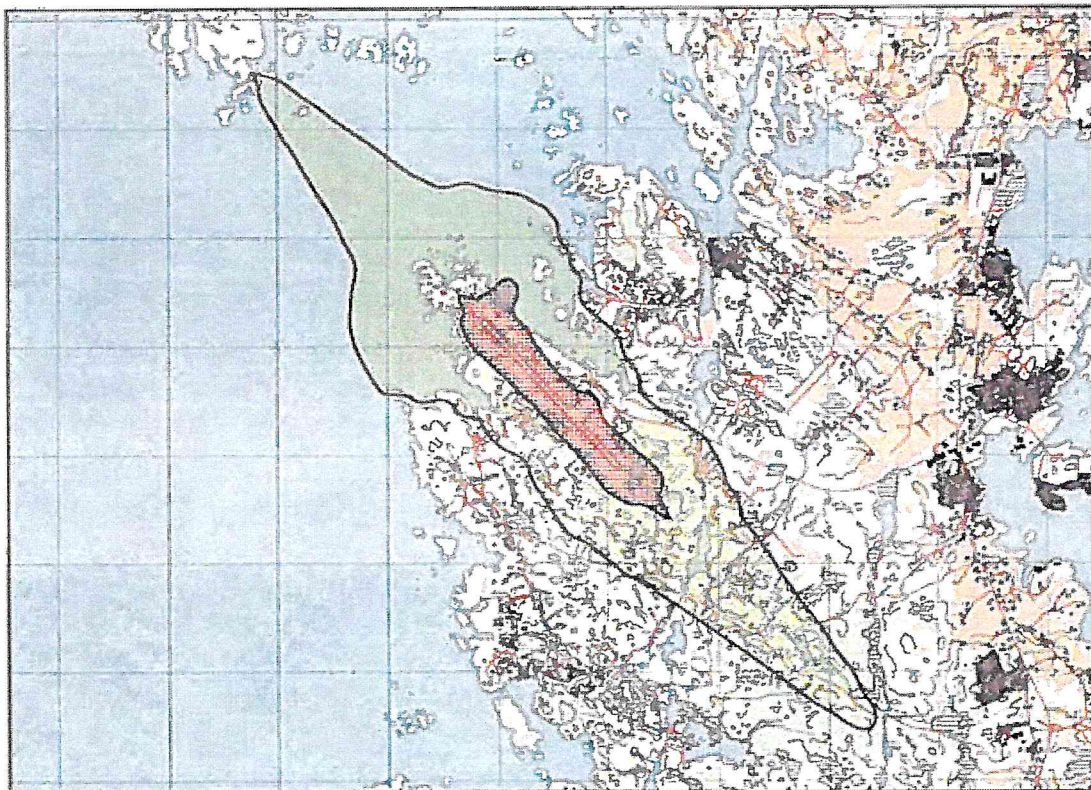
| Støysone | Areal (km^2) |
|----------|-------------------------|
| Gul | 7.84 |
| Rød | 1.09 |



Figur 10-1. Vektet døgnekvivalent støy nivå for dagens situasjon. Kotene viser L_{den} 52 og 62 dBA. M 1:60.000.



Figur 10-2. Maksimumsnivå på natt for dagens situasjon. Kotene viser L_{5AS} (MFN_{23-07}) 80 og 90 dBA. M 1:60.000.



Figur 10-3. Støysoner for dagens situasjon. M 1:60.000.

10.2 Prognose 2016

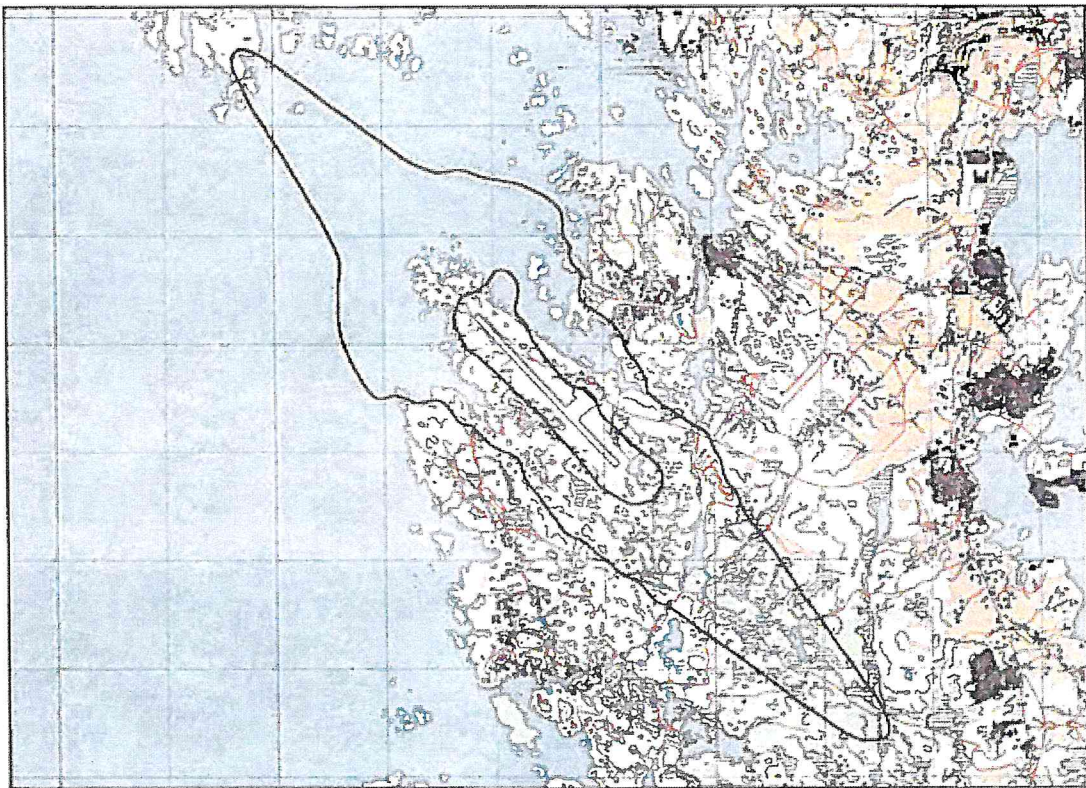
Totalt 13440 punkt på bakken inngår i beregningen av prognosesituasjonen. Innenfor området dette utgjør, er det i tillegg beregnet for 1357 punkt knyttet til bygninger (se avsnitt 11.1).

Det framgår av kartene på de neste sidene at gul sone er bestemt av L_{den} 52 dBA alene. Rød sone er stort sett bestemt av L_{SAS} 90 dBA, men L_{den} 62 dBA gir et lite bidrag nær den nordvestre enden av rullebanen.

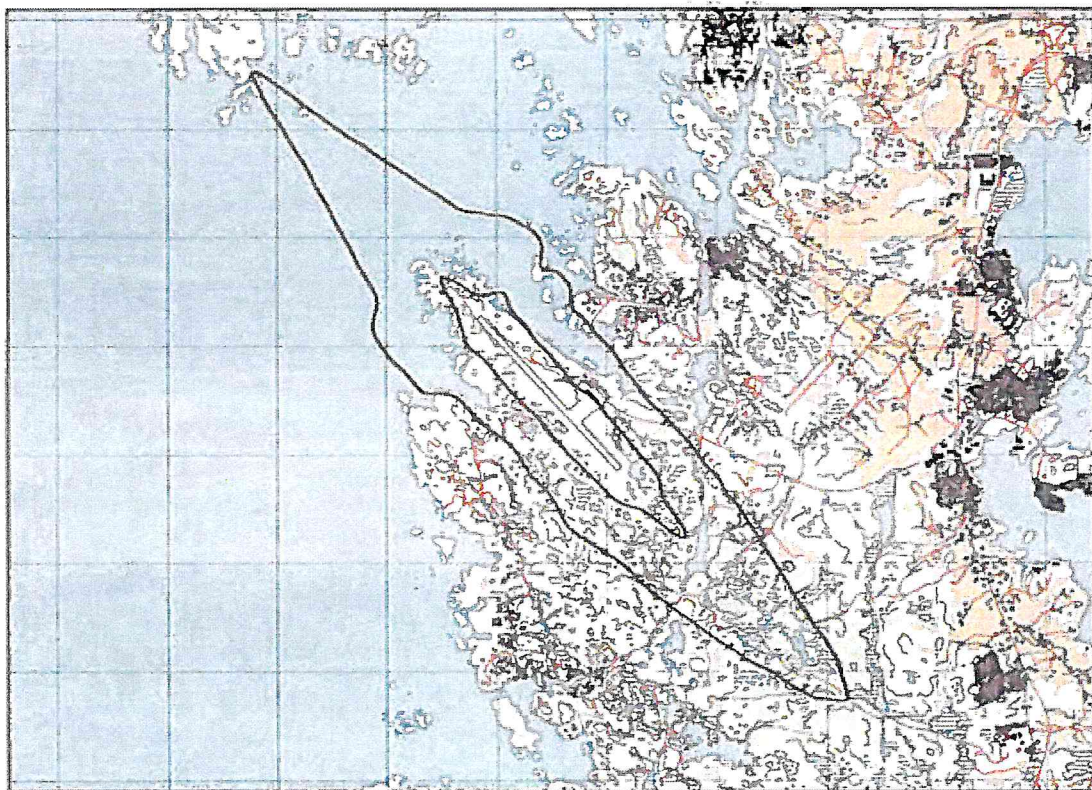
Arealene som omfattes av støysonene er gitt i tabellen under.

Tabell 10.2. Areal i støysonene for prognose 2016. Merk at store deler av Gul sone, og noe av Rød sone, dekker områder over sjø.

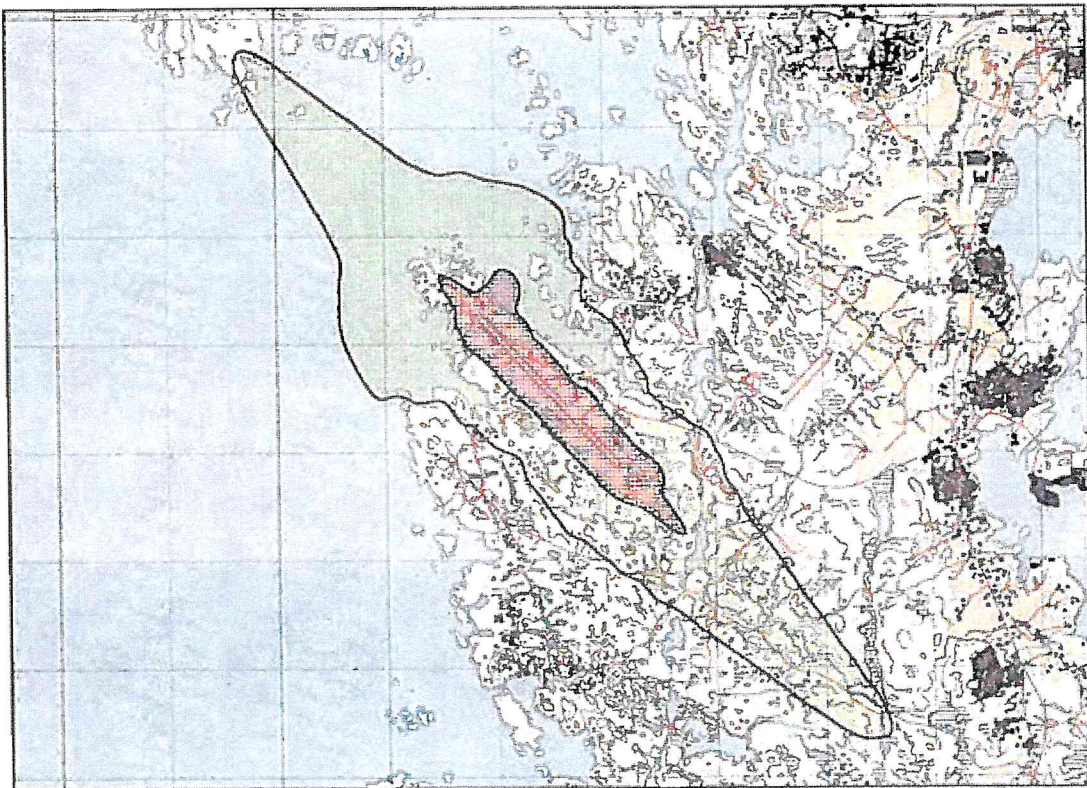
| Støyzone | Areal (km^2) |
|----------|-------------------------|
| Gul | 8.81 |
| Rød | 1.39 |



Figur 10-4. Vektet døgnekvivalent støy nivå for prognose 2016. Kotene viser L_{den} 52 og 62 dBA. M 1:60.000.



Figur 10-5. Maksimumsnivå på natt for prognose 2016. Kotene viser L_{5AS} (MFN₂₃₋₀₇) 80 og 90 dBA. M 1:60.000.



Figur 10-6. Støysoner for prognose 2016. M 1:60.000.

Dette støysonekartet representerer "verstetilfelle kombinasjonen" av dagens situasjon og prognosene, og vil derfor være det som skal legges til grunn for framtidig planlegging slik retningslinje T-1442 krever.

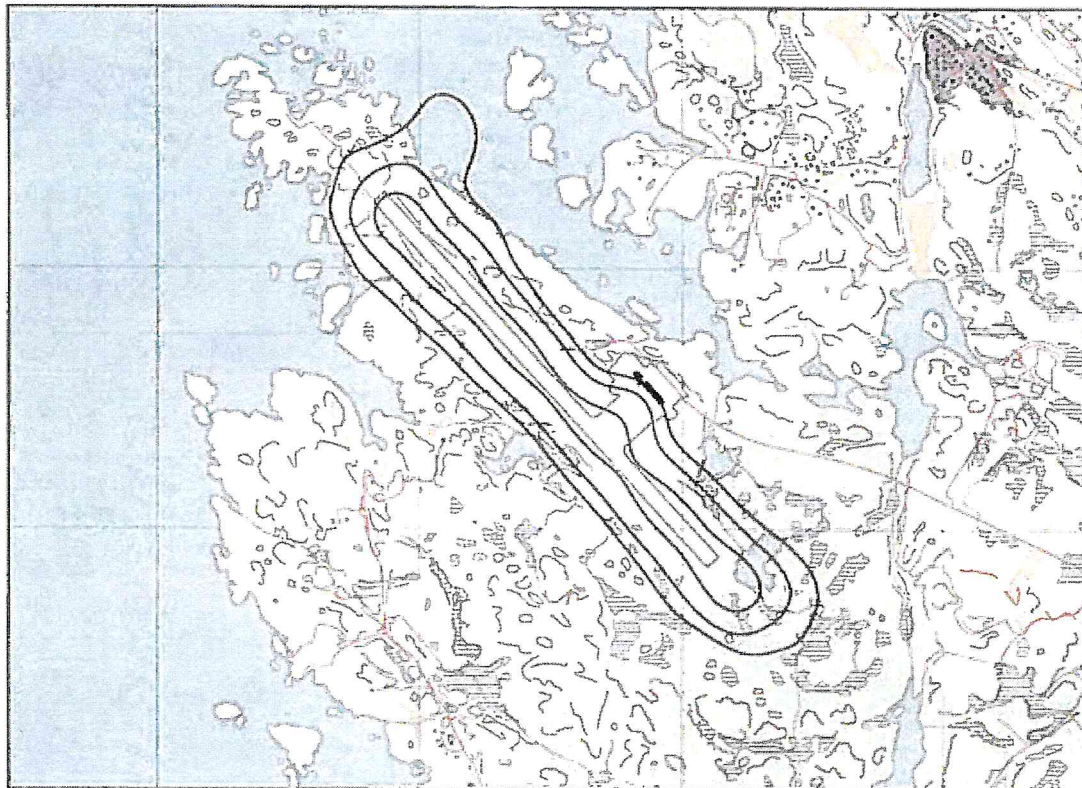
11. RESULTATER RELATERT TIL FORURENSINGSFORSKRIFTEN

Her presenteres beregninger relatert til forskriften til forurensingsloven. Resultatene presenteres i form av kotekart. Alle beregninger gjøres for dagens situasjon og for prognosene for 2016.

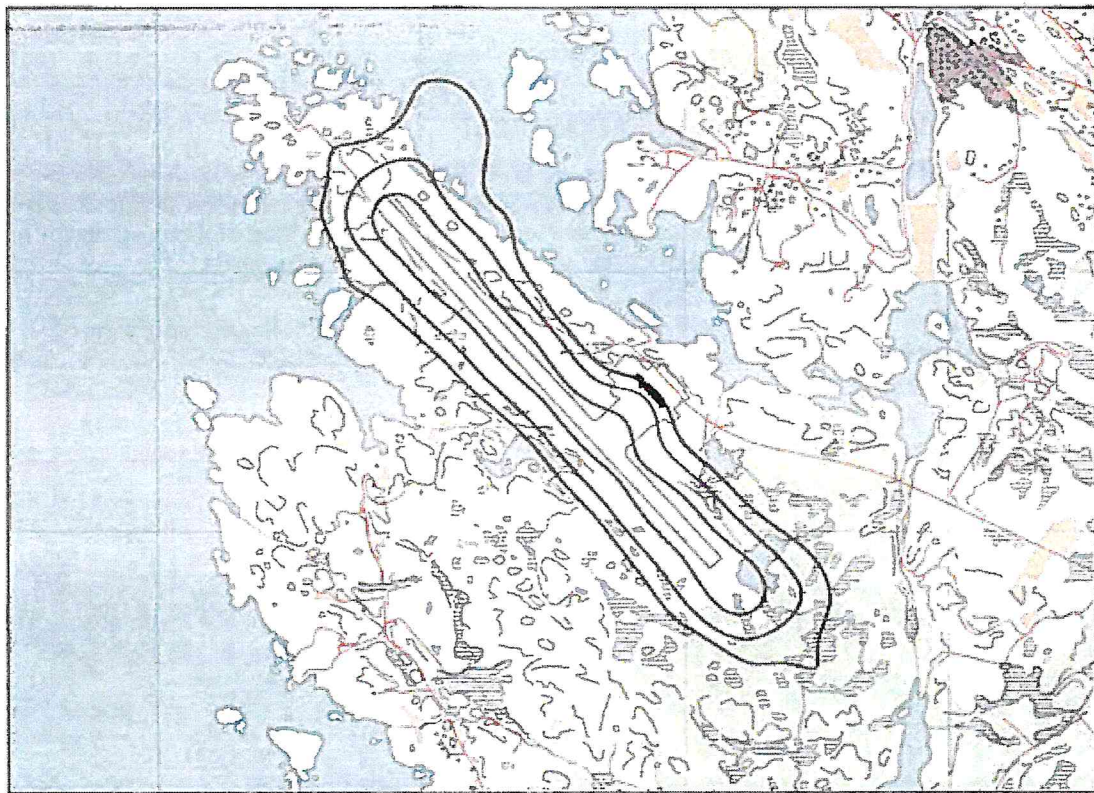
Samtlige kurver foreligger på SOSI filformat og leveres oppdragsgiver på elektronisk form, for uttegning på andre kart og i andre målestokker.

11.1 Innendørs støy nivå – Kartlegging og tiltak

I henhold til *Tabell 3-2* er kartleggingsgrensen for Haugesund lufthavn alene på L_{eq24h} (døgnekvivalent støy nivå) 61 dBA. Med en standard fasadeisolasjon vil dette gi et innendørs nivå på 35 dBA eller lavere. Normalt vil det derfor kunne forventes behov for tiltak først når utendørsnivået er 7 dB høyere. Det trekkes derfor en kurve (tentativ tiltaksgrense) for utendørs nivå 68 dBA (altså 61+7). I de tilfeller andre støykilder er til stede (og bidrar like mye som flyplassen) er kartleggingsgrensen 3 dB lavere. Det er derfor også trukket en kurve for utendørs nivå 58 dBA (altså 61-3). Figurene under viser disse tre kurvene for dagens situasjon og for prognosesituasjonen.



Figur 11-1. Kartleggingsgrenser for dagens situasjon. Kotene viser L_{eq24h} 58, 61 og 68 dBA. M 1:25.000.



Figur 11-2. Kartleggingsgrenser for prognose 2016. Kotene viser $L_{eq,24h}$ 58, 61 og 68 dBA. M 1:25.000.

I figurene er bygninger som i følge eiendomsregistret har støyømfintlige bruksformål, dvs. boliger, skoler og helseinstitusjoner, markert med svarte kvadrater.

Punktberegringer av aktuelle bygninger viser at *ingen* bygninger med støyømfintlig bruksformål befinner seg innenfor disse grensene, verken for dagens situasjon eller for prognosesituasjonen.

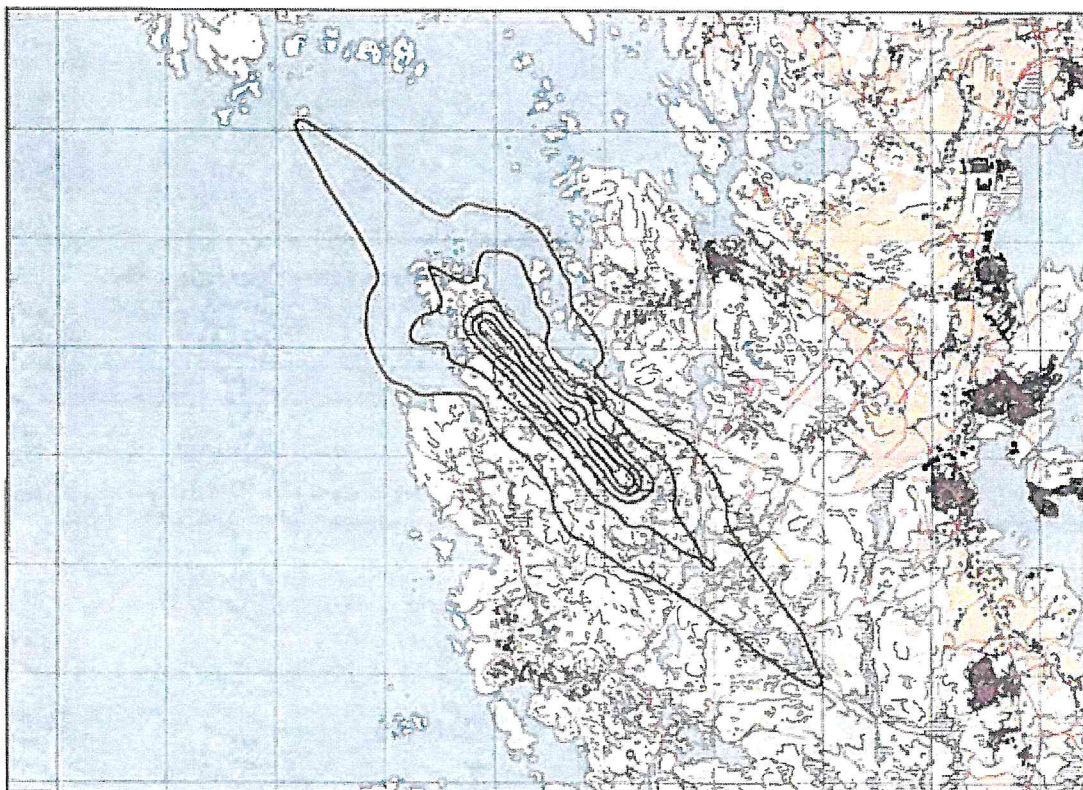
12. ANDRE RESULTATER

12.1 Antall mennesker bosatt innenfor LEQ 50 dBA

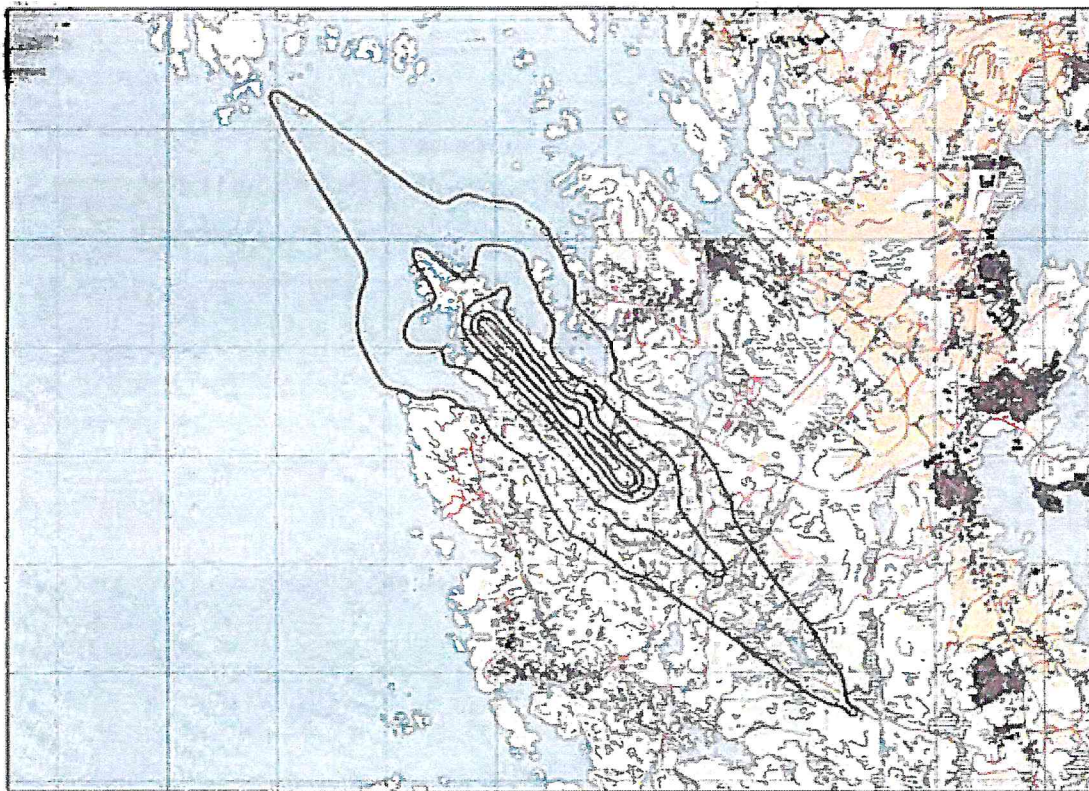
I 1999 gjennomførte Miljøverndepartementet en kartlegging av antall personer utsatt for støy i Norge. Som en del av dette ble det beregnet antall personer med bosted innenfor døgnekvivalent støynivå (L_{eq24h}) fra fly på 50 dBA og oppover i 5 dB trinn. Rapporten [23] beskriver metoder og resultater. Tallene fra denne undersøkelsen ble oppdatert i rapporten fra 2001 [21].

Figurene under viser kotene som denne oppstillingen gjelder for, for dagens situasjon og for prognosene for 2016. Merk at de svarte kvadratene markerer alle støyemfintlige bygninger, altså ikke bare boliger.

Samtlige kurver foreligger på SOSI filformat og leveres oppdragsgiver på elektronisk form, for uttegning på andre kart og i andre målestokker.



Figur 12-1. Døgnekvivalent nivå for dagens situasjon. Kotene viser L_{eq24h} 50 – 70 dBA i 5 dB trinn. M 1:60.000.



Figur 12-2. Døgnekvivalent nivå for prognose 2016. Kotene viser L_{eq24h} 50 – 70 dBA i 5 dB trikk. M 1:60.000.

Tabellen under viser estimert antall personer innenfor hvert 5 dB intervall, basert på beregninger i bygningspunktene og et fylkesvis justert landsgjennomsnitt av antall personer per type bygning. I parentes vises tallene for 1999 fra rapporten fra 2001 [21].

Tabell 12.1. Antall personer bosatt innenfor hvert 5 dB intervall fra L_{eq24h} 50 dBA, for dagens situasjon og for prognoseren for 2016. Tallene fra forrige beregning (1999) i parentes.

| Limits | NoOfPeople 2006 | NoOfPeople 2016 |
|---------|-----------------|-----------------|
| 50 – 55 | 6 (0) | 6 |
| 55 – 60 | 0 (0) | 0 |
| 60 – 65 | 0 (0) | 0 |
| 65 – 70 | 0 (0) | 0 |
| 70 -> | 0 (0) | 0 |

13. LITTERATUR

- [1] B. Griefahn:
MODELS TO DETERMINE CRITICAL LOADS FOR NOCTURNAL NOISE.
Proceedings of the 6th International Congress on Noise as a Public Health Problem, Nice,
Frankrike, juli 1993
- [2] T. Gjestland:
VIRKNINGER AV FLYSTØY PÅ MENNESKER.
ELAB-rapport STF44 A82032, Trondheim, april 1982
- [3] Flystøykommisjonen:
STØYBEGRENSNING VED BODØ FLYPLASS.
Rapportnr. TA-581, Oslo, mars 1983
- [4] T. Gjestland, K. H. Liasjø, I. Granøien, J. M. Fields:
RESPONSE TO NOISE AROUND OSLO AIRPORT FORNEBU.
ELAB-RUNIT Report STF40 A90189, Trondheim, november 1990
- [5] T. Gjestland, K. H. Liasjø, I. L. N. Granøien:
RESPONSE TO NOISE AROUND VÆRNES AND BODØ AIRPORTS.
SINTEF DELAB Report STF40 A94095, Trondheim, august 1994
- [6] A. Krokstad, O. Kr. Ø. Pettersen, S. Å. Storeheier:
FLYSTØY; FORSLAG TIL MÅLEENHETER, BEREGNINGSMETODE OG
SONEINNDELING.
ELAB-rapport STF44 A81046, revidert utgave, Trondheim, mars 1982
- [7] Miljøverndepartementet:
RETNINGSLINJE FOR BEHANDLING AV STØY I AREALPLANLEGGING.
Retningslinje T-1442. Oslo, 26. januar 2005
<http://odin.dep.no/md/norsk/dok/regelverk/retningslinjer/022051-200016/dok-bn.html>
- [8] Miljøverndepartementet:
T-1277 RETNINGSLINJER ETTER PLAN- OG BYGNINGSLOVA OM AREALBRUK I
FLYSTØYSONER
<http://odin.dep.no/md/norsk/regelverk/rikspolitiske/022005-990564>

AREALBRUK I FLYSTØYSONER.
Retningslinjer T-1277. Oslo, april 1999 (Papirutgaven).
- [9] Statens Forurensningstilsyn:
VEILEDER TIL MILJØVERNDEPARTEMENTETS RETNINGSLINJE FOR
BEHANDLING AV STØY I AREALPLANLEGGING (STØYRETNINGSLINJEN).
Publikasjon TA-2115/2005. Oslo august 2005
<http://www.sft.no/publikasjoner/luft/2115/ta2115.pdf>
- [10] H. Olsen, K. H. Liasjø, I. L. N. Granøien:
TOPOGRAPHY INFLUENCE ON AIRCRAFT NOISE PROPAGATION, AS

IMPLEMENTED IN THE NORWEGIAN PREDICTION MODEL – NORTIM.

SINTEF DELAB Report STF40 A95038, Trondheim, april 1995

- [11] Rolf Tore Randeberg, Herold Olsen, Idar L N Granøien, Tone Berg:
NORTIM VERSION 3.0. USER INTERFACE DOCUMENTATION.
SINTEF Report STF90 A04037, Trondheim, 22. April 2002
- [12] Idar L N Granøien, Rolf Tore Randeberg, Herold Olsen:
CORRECTIVE MEASURES FOR THE AIRCRAFT NOISE MODELS NORTIM AND
GMTIM: 1) DEVELOPMENT OF NEW ALGORITHMS FOR GROUND ATTENUATION
AND ENGINE INSTALLATION EFFECTS. 2) NEW NOISE DATA FOR TWO
AIRCRAFT FAMILIES.
SINTEF Report STF40 A02065, Trondheim, 16 December 2002
- [13] B. Plovsing, J. Kragh:
Nord2000. COMPREHENSIVE OUTDOOR SOUND PROPAGATION MODEL.
DELTA Report, Lyngby, 31 Dec 2000
- [14] S Å Storeheier, R T Randeberg, I L N Granøien, H Olsen, A Ustad:
AIRCRAFT NOISE MEASUREMENTS AT GARDERMOEN AIRPORT, 2001. Part I:
SUMMARY OF RESULTS.
SINTEF Report STF40 A02032, Trondheim, 3 March 2002
- [15] G G: Flemming et. al.:
INTEGRATED NOISE MODEL (INM) VERSION 6.0 TECHNICAL MANUAL.
U.S. Department of Transportation, Report No.: FAA-AEE-01-04, Washington DC, June
2001
- [16] W. R. Lundberg:
BASEOPS DEFAULT PROFILES FOR TRANSIENT MILITARY AIRCRAFT.
AAMRL-TR-90-028, Harry G. Armstrong, Aerospace Medical Research Laboratory,
Wright-Patterson AFB, Ohio, February 1990
- [17] Miljøverndepartementet:
FORSKRIFT OM BEGRENSNING AV FORURENSNING
(FORURENSNINGSFORSKRIFTEN).
Forskrift FOR-2004-06-01-931, Oslo, juni 2004
<http://www.lovdata.no/for/sf/rmd/md-20040601-0931.html>
(Del 2, kapittel 5)
- [18] Arild Brekke:
NYE RETNINGSLINJER FOR FLYSTØY. KONSEKVENSER VEDRØRENDE
STØYISOLERING AV BOLIGER I STØYSONE I OG II.
Norges byggforskningsinstitutt rapport 7939, revidert utgave, Oslo, juni 1998
- [19] Kåre H. Liasjø:
MØTE OM kartlegging AV FLYSTØY i henhold til forskriften TIL
FORURENSNINGSLOVEN.
Referat fra møte i SFT Oslo, 25 juni 1999

- [20] REPORT ON STANDARD METHOD OF COMPUTING NOISE CONTOURS AROUND CIVIL AIRPORTS. VOLUME 2: TECHNICAL GUIDE.
ECAC.CEAC Doc.29 3rd Edition, Strasbourg, 07/12/2005.
- [21] Rolf Tore Randeberg, Idar L. N. Granøien:
KARTLEGGING AV FLYSTØY RUNDT HAUGESUND LUFTHAVN –KARMØY.
SINTEF rapport STF40 F01073, Trondheim desember 2001.
- [22] Harald Thune-Larsen:
TRAFIKKPROGNOSER HAUGESUND
TØI, Oslo 2007.
- [23] I. L. N. Granøien, H. Olsen, O. M. Arntzen, A. Ustad, T. Berg:
NASJONALE MÅL FOR STØY. KARTLEGGING AV ANTALL PERSONER BERØRT
AV FLYSTØY.
SINTEF rapport STF40 A99037, Trondheim juni 1999.
- [24] Kåre H. Liasjø:
NOISE MEASUREMENTS ON S-92 FOR DEVELOPMENT OF NPD-DATA
Oslo Lufthavn AS rapport OSLAS-AN-RA-0193, Rev. E03. Gardermoen, juli 2007.

VEDLEGG 1 Flytyper og destinasjoner

Tabell 1 Substitusjoner av flytypebetegnelser fra ICAO koder til databasens koder. Merk at felles betegnelser ikke er angitt her.

| ACtype | NewACtyp | ACtype | NewACtyp | ACtype | NewACtyp |
|--------|----------|--------|----------|--------|----------|
| A109 | A109K2 | C525 | CNA500 | M20T | GASEPV |
| A321 | A32123 | C550 | MU3001 | MCR1 | GASEPF |
| AC50 | BEC58P | C56X | MU3001 | MICO | CNA500 |
| AS32 | SA330 | C650 | CIT3 | P28A | PA28 |
| AS50 | SA350 | C750 | CL600 | P28R | GASEPV |
| AT43 | DHC830 | C77R | GASEPF | P68T | CNA441 |
| AT72 | HS748A | CL60 | CL600 | PA18 | GASEPF |
| B214 | THEL | CP32 | GASEPF | PA27 | BEC58P |
| B462 | BAE146 | D328 | DHC8 | PA32 | GASEPV |
| B463 | BAE146 | DA40 | GASEPV | PA38 | GASEPF |
| B734 | 737400 | DEFI | BEC58P | PAY4 | CNA441 |
| B735 | 737500 | DH8C | DHC830 | PC12 | GASEPV |
| B736 | 737700 | DH8D | DHC830 | PUMA | THEL |
| B737 | 737700 | DR30 | GASEPV | R44 | R22 |
| B738 | 737800 | DR40 | GASEPF | RJ1H | BAE146 |
| B752 | 757PW | DV20 | GASEPV | RV4 | GASEPF |
| BE10 | CNA441 | E110 | DHC6 | S61 | THEL |
| BE20 | DHC6 | E145 | EMB145 | SB91 | GASEPF |
| BE33 | GASEPV | EC20 | LHEL | SF25 | GASEPF |
| BE40 | LEAR35 | EC35 | LHEL | SF28 | GASEPF |
| BE55 | BEC58P | ECHO | GASEPF | SF36 | GASEPF |
| BE58 | BEC58P | F2TH | FAL20 | SUBA | GASEPF |
| BSTP | THEL | F50 | DHC830 | SW2 | DHC6 |
| BX2 | GASEPF | F900 | FAL20 | SW4 | DHC6 |
| C130 | C130HP | FA20 | FAL20 | SZ45 | GASEPF |
| C152 | CNA172 | FOX | GASEPF | TOBA | GASEPV |
| C172 | CNA172 | GI03 | GASEPF | ULAC | GASEPF |
| C177 | CNA172 | GA7 | BEC58P | ZZZZ | GASEPF |
| C180 | CNA206 | GLF4 | GIV | AA5 | GASEPF |
| C182 | CNA206 | GLF5 | GV | | |
| C185 | CNA206 | H25B | LEAR35 | | |
| C208 | CNA20T | H269 | LHEL | | |
| C210 | CNA206 | JABI | GASEPF | | |
| C310 | BEC58P | JS31 | DHC6 | | |
| C340 | BEC58P | JS32 | DHC6 | | |
| C421 | BEC58P | LJ35 | LEAR35 | | |
| C441 | CNA441 | LNC2 | GASEPF | | |
| C500 | CNA500 | M20P | GASEPV | | |

Tabell 2 Sortering av flytyper i flytypekategorier, samt angivelse av motortype/-plassering.

| NewACtyp | Accat | EngInstall | NewACtyp | Accat | EngInstall | NewACtyp | Accat | EngInstall |
|----------|-------|------------|----------|-------|------------|----------|-------|------------|
| 737400 | JET | W | CNA172 | GA | P | HS748A | TPR | T |
| 737500 | JET | W | CNA206 | GA | P | LEAR35 | JET | R |
| 737700 | JET | W | CNA20T | GA | P | LHEL | H | H |
| 737800 | JET | W | CNA441 | TPL | T | MD82 | JET | R |
| 757PW | JET | W | CNA500 | JET | R | MU3001 | JET | R |
| A109K2 | H | H | DHC6 | TPL | T | PA28 | GA | P |
| A320 | JET | W | DHC8 | TPR | T | PA31 | GA | P |
| A32123 | JET | W | DHC830 | TPR | T | R22 | H | H |
| B212 | H | H | EMB145 | JET | R | S76 | H | H |
| BAE146 | JET | W | FAL20 | JET | R | S92 | H | H |
| BEC58P | GA | P | GASEPF | GA | P | SA330 | H | H |
| C130HP | TPR | T | GASEPV | GA | P | SA350 | H | H |
| CIT3 | JET | R | GIV | JET | R | THEL | H | H |
| CL600 | JET | R | GV | JET | R | | | |

**Tabell 3 Gruppering av destinasjonsbetegnelser fra ICAO koder i retninger,
samtid angivelse av avstand (Stage length).**

| NewDepDest | DepDestGroup | StageLength | NewDepDest | DepDestGroup | StageLength |
|------------|--------------|-------------|------------------|--------------|-------------|
| BIAR | Nord | 2 | EHRD | Sør | 1 |
| BIRK | Nord | 2 | EHTW | Sør | 1 |
| EDDC | Sør | 2 | EIDW | Sørvest | 1 |
| EDDG | Sør | 1 | EKAH | Sør | 1 |
| EDDH | Sør | 1 | EKBI | Sør | 1 |
| EDDI | Sør | 1 | EKCH | Sør | 1 |
| EDDK | Sør | 2 | EKOD | Sør | 1 |
| EDDL | Sør | 1 | EKRK | Sør | 1 |
| EDDM | Sør | 2 | EKRN | Sør | 1 |
| EDDS | Sør | 2 | EKS _B | Sør | 1 |
| EDDT | Sør | 1 | EKSN | Sør | 1 |
| EDDW | Sør | 1 | EKTS | Sør | 1 |
| EDFE | Sør | 2 | EKVG | Sør | 1 |
| EDFH | Sør | 2 | EKVJ | Sør | 1 |
| EDHL | Sør | 1 | EKYT | Sør | 1 |
| EDLE | Sør | 1 | ENAL | Nord | 1 |
| EDLV | Sør | 1 | ENAN | Nord | 2 |
| EETN | Øst | 2 | ENAT | Nord | 2 |
| EFHK | Øst | 2 | ENBL | Nord | 1 |
| EFKK | Øst | 2 | ENBM | Nord | 1 |
| EGAC | Sørvest | 1 | ENBN | Nord | 1 |
| EGBE | Sørvest | 1 | ENBO | Nord | 2 |
| EGFF | Sørvest | 1 | ENBR | Nord | 1 |
| EGGW | Sørvest | 1 | ENCN | Sør | 1 |
| EGHI | Sørvest | 2 | ENDU | Nord | 2 |
| EGJB | Sørvest | 2 | ENFB | Øst | 1 |
| EGKB | Sørvest | 2 | ENFG | Nord | 1 |
| EGKK | Sørvest | 2 | ENFJ | Nord | 1 |
| EGLC | Sørvest | 2 | ENFL | Nord | 1 |
| EGLF | Sørvest | 2 | ENFR | Nord | 1 |
| EGNJ | Sørvest | 1 | ENGK | Øst | 1 |
| EGNM | Sørvest | 1 | ENGM | Øst | 1 |
| EGNR | Sørvest | 1 | ENGN | Nord | 1 |
| EGNT | Sørvest | 1 | ENHD | Lokal | 1 |
| EGNV | Sørvest | 1 | ENHF | Nord | 2 |
| EGPB | Sørvest | 1 | ENHS | Øst | 1 |
| EGPC | Sørvest | 1 | ENKB | Nord | 1 |
| EGPD | Sørvest | 1 | ENKJ | Øst | 1 |
| EGPE | Sørvest | 1 | ENLI | Sør | 1 |
| EGPN | Sørvest | 1 | ENLK | Nord | 2 |
| EGSH | Sørvest | 1 | ENML | Nord | 1 |
| EGSS | Sørvest | 1 | ENMS | Nord | 1 |
| EHAM | Sør | 1 | ENNO | Øst | 1 |
| EHEH | Sør | 1 | ENOL | Nord | 1 |
| EHGG | Sør | 1 | ENOV | Nord | 1 |

Datagrunnlag versjon 2

Dato: 18.12.07. Tid: 09:03

Filnavn: U:\prosjekt\9021-Akustikk\90E277_ENHD_IG\Arkiv\Rapport\SINTEF A4175.doc

| NewDepDest | DepDestGroup | StageLength | NewDepDest | DepDestGroup | StageLength |
|------------|--------------|-------------|------------|--------------|-------------|
| ENRA | Nord | 1 | GCLP | Sørvest | 4 |
| ENRK | Øst | 1 | KIAH | Sørvest | 6 |
| ENRO | Nord | 1 | LBBG | Sør | 3 |
| ENRY | Øst | 1 | LDDU | Sør | 3 |
| ENSG | Nord | 1 | LDSP | Sør | 3 |
| ENSN | Øst | 1 | LEAS | Sør | 2 |
| ENSO | Nord | 1 | LEPA | Sør | 3 |
| ENTO | Øst | 1 | LETO | Sør | 3 |
| ENUL | Nord | 1 | LFMD | Sør | 2 |
| ENVA | Nord | 1 | LFML | Sør | 2 |
| ENXL | Sørvest | 1 | LFMN | Sør | 2 |
| ENXP | Sørvest | 1 | LFOH | Sør | 2 |
| ENYR | Sør | 1 | LFPB | Sør | 2 |
| ENZV | Sør | 1 | LFPG | Sør | 2 |
| EPGD | Sør | 2 | LFPO | Sør | 2 |
| EPSC | Sør | 1 | LFRH | Sør | 2 |
| EPWA | Sør | 2 | LFRM | Sør | 2 |
| EPWR | Sør | 2 | LGAV | Sør | 3 |
| ESGG | Øst | 1 | LIPE | Sør | 2 |
| ESGL | Øst | 1 | LIPX | Sør | 2 |
| ESGP | Øst | 1 | LIRP | Sør | 2 |
| ESGT | Øst | 1 | LIRZ | Sør | 3 |
| ESMS | Øst | 1 | LKPR | Sør | 2 |
| ESNO | Nord | 1 | LOWW | Sør | 2 |
| ESOE | Øst | 1 | LRCK | Sør | 3 |
| ESPA | Nord | 2 | LSGG | Sør | 2 |
| ESSA | Øst | 1 | LTAI | Sør | 4 |
| ESSB | Øst | 1 | | | |
| ESSF | Øst | 1 | | | |
| ESSL | Øst | 1 | | | |
| ESST | Øst | 1 | | | |
| EVRA | Øst | 2 | | | |
| EYVA | Øst | 2 | | | |

"StageLength" angir avstanden til destinasjonen (som påvirker avgangsvekten til flyet, og dermed hvilken høydeprofil som skal brukes). Tabellen under angir avstandsintervallene.

| Stage Length | Avstand (i nautiske mil) |
|--------------|--------------------------|
| 1 | Inntil 500 |
| 2 | 500 – 1000 |
| 3 | 1000 – 1500 |
| 4 | 1500 – 2500 |
| 5 | 2500 – 3500 |
| 6 | 3500 – 4500 |